

Transições de Fase

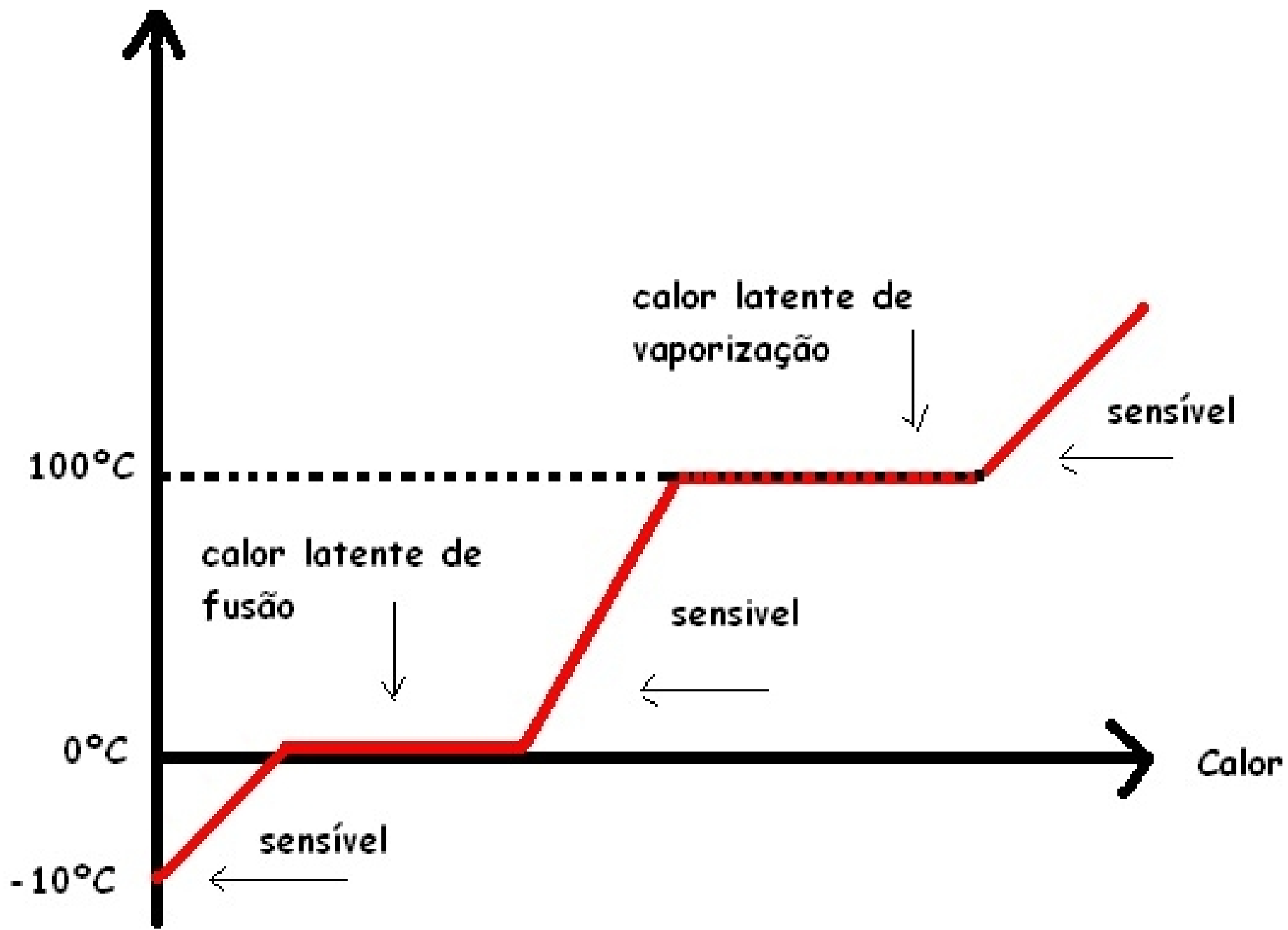


Prof. Fabiano Ribeiro

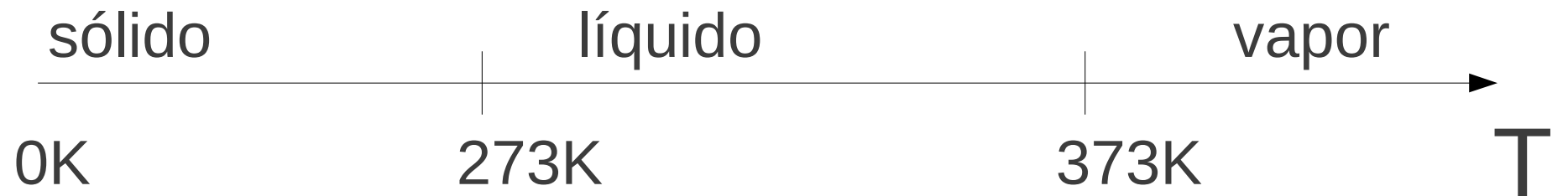
DEX- UFLA



Temperatura

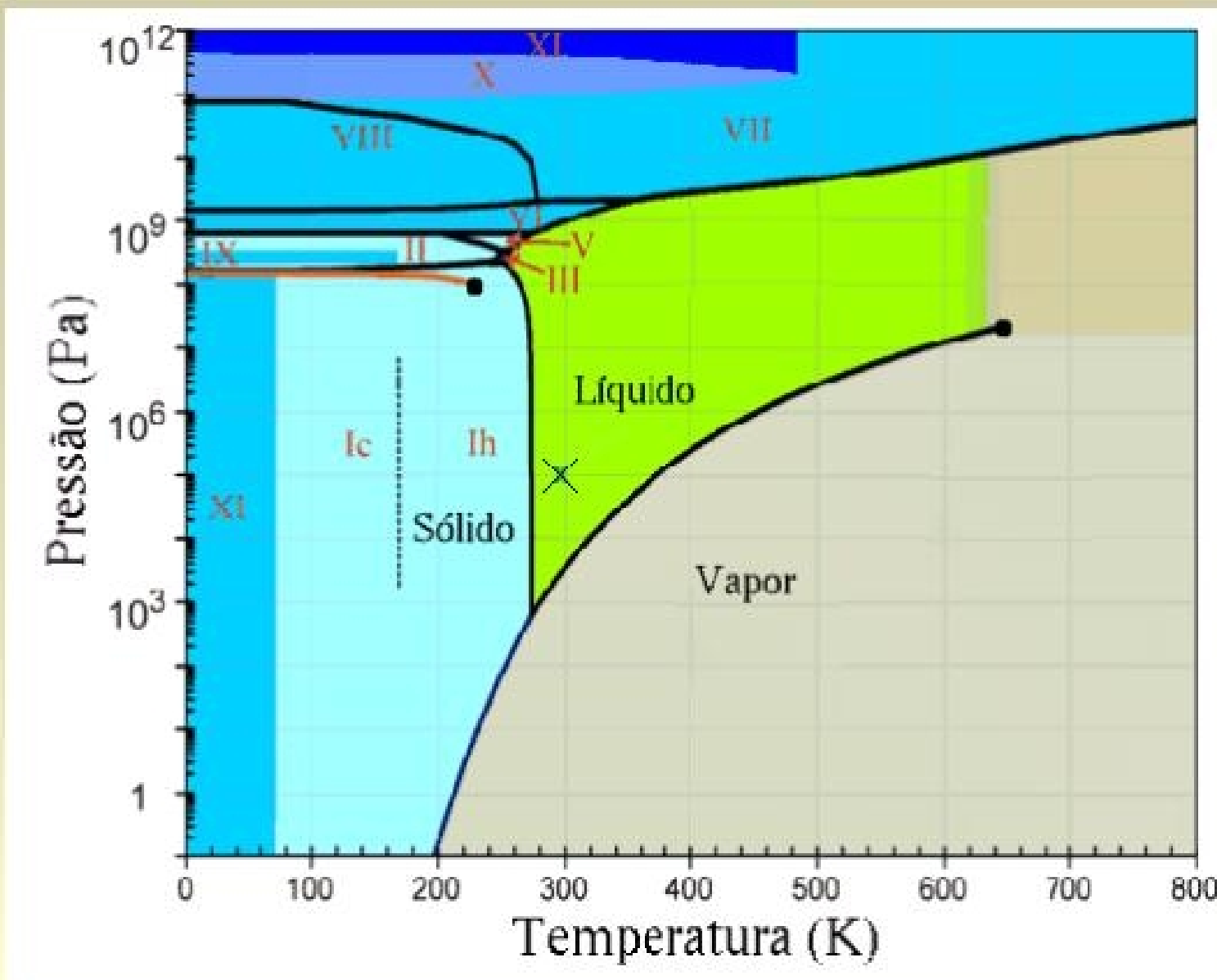


Fases da Água

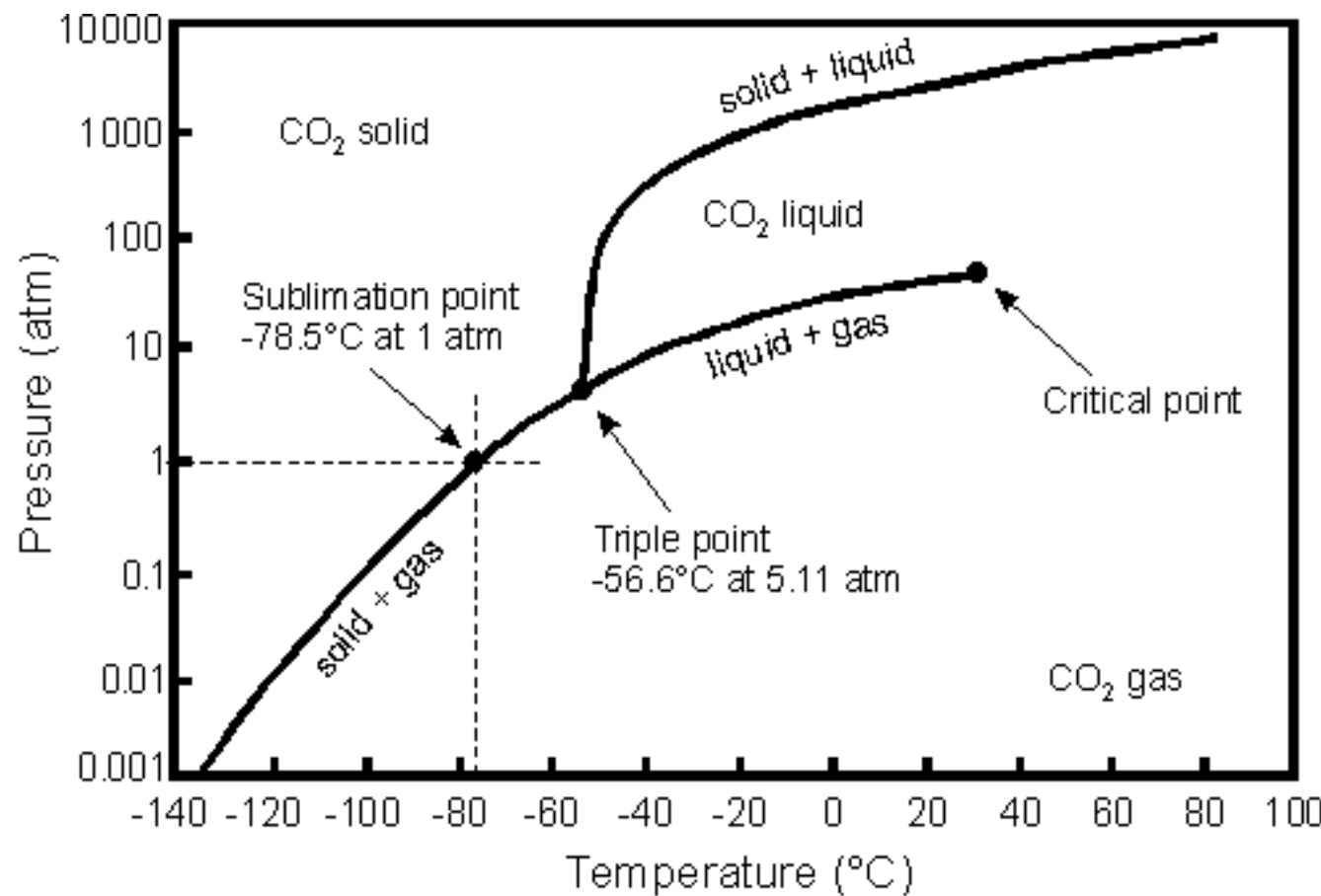


$P = 1\text{ atm}$

Diagrama de fases P x V para a água

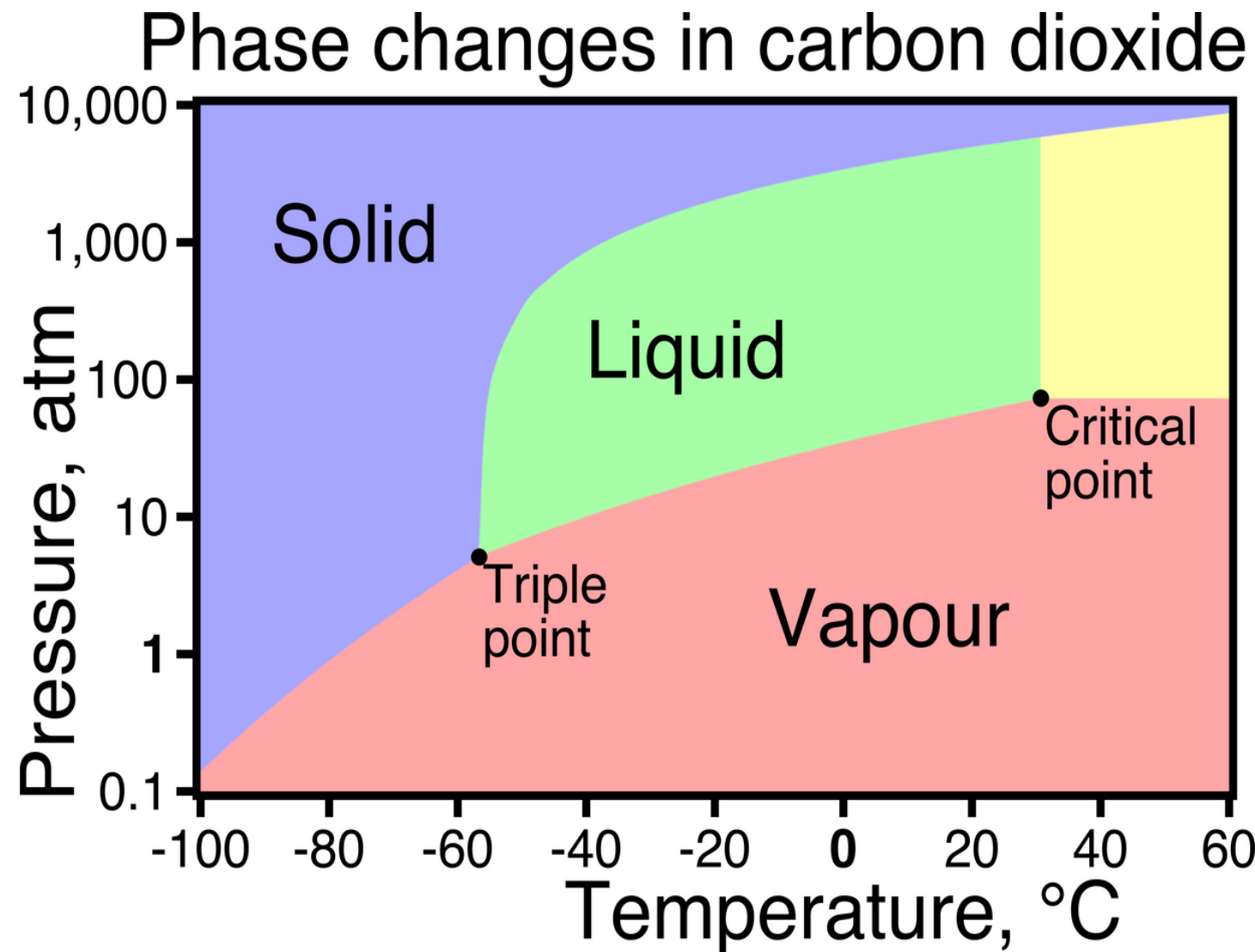


Dioxido de Carbono: CO₂



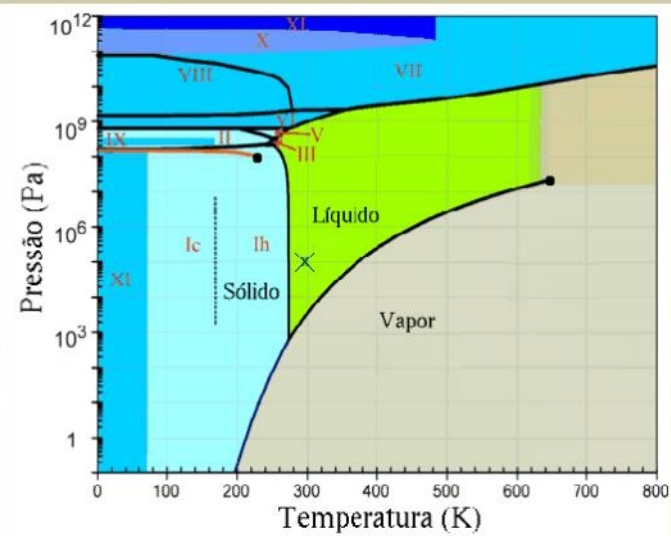
Pressure-Temperature phase diagram for CO₂.

Dioxido de Carbono: CO₂



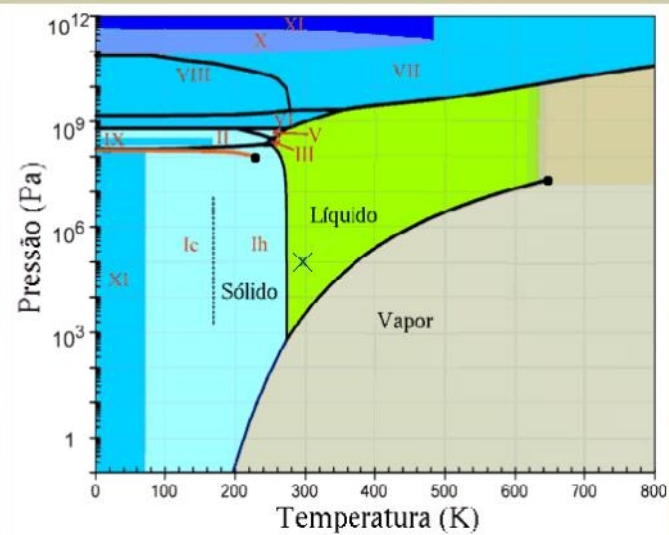
Videos

Diagrama de fases P x V
para a água



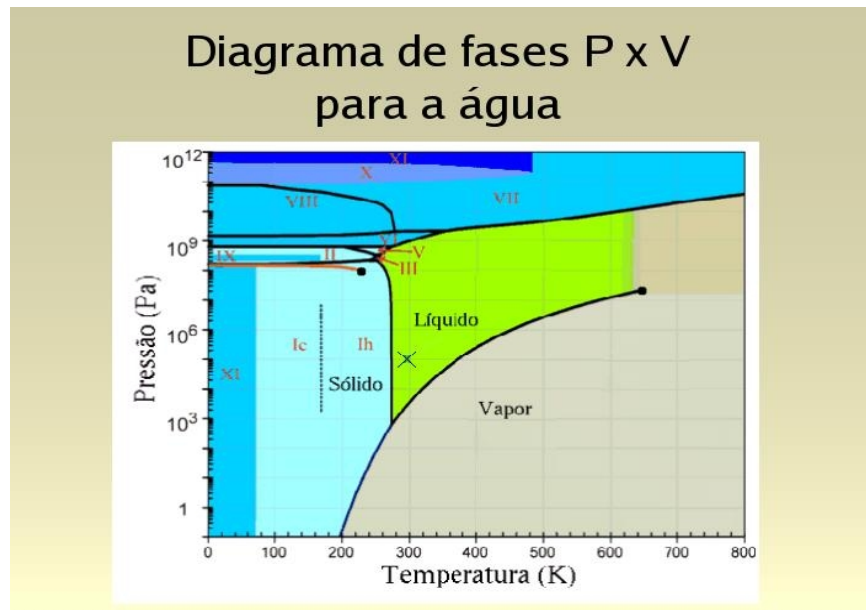
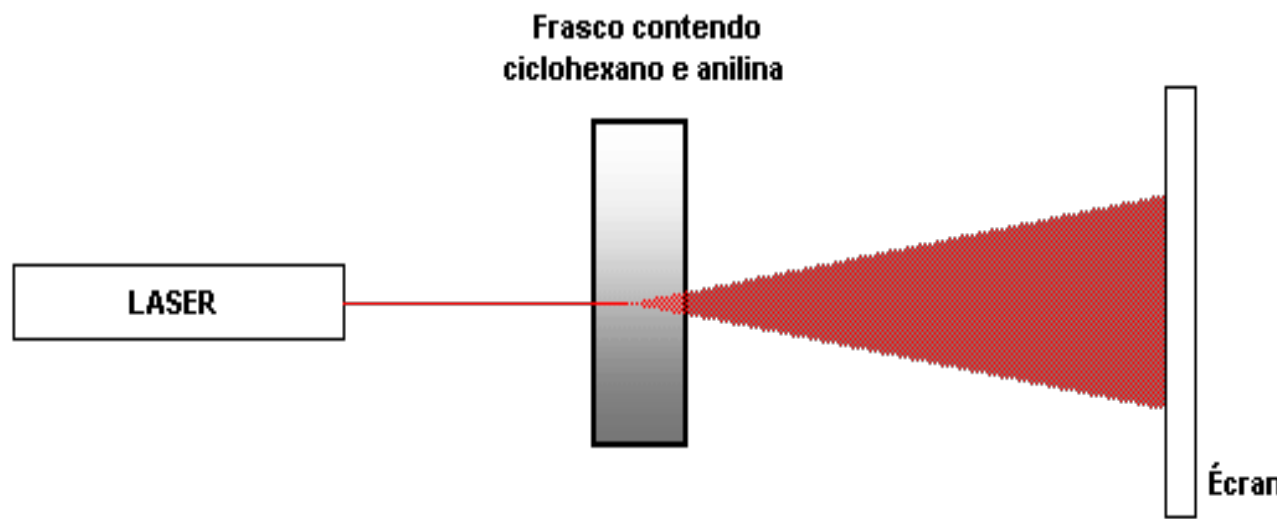
Videos

Diagrama de fases P x V
para a água

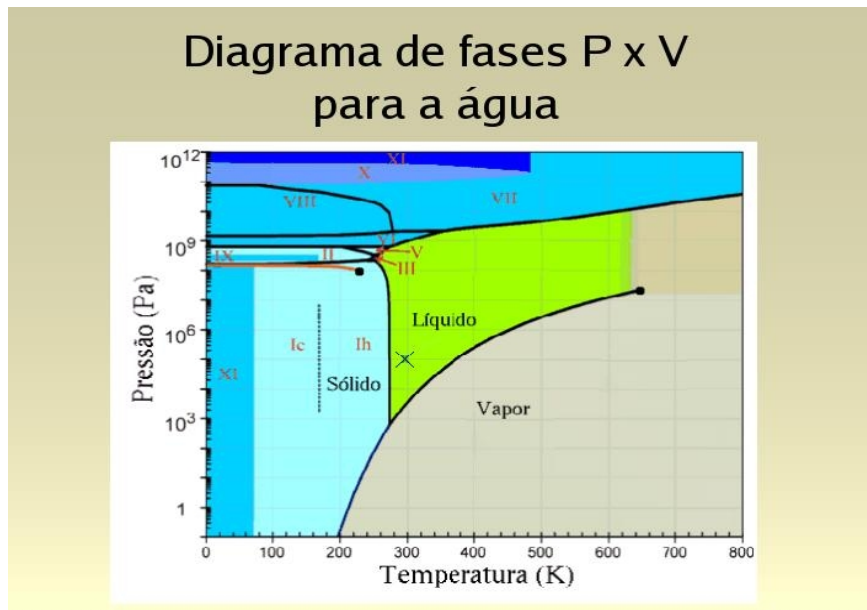
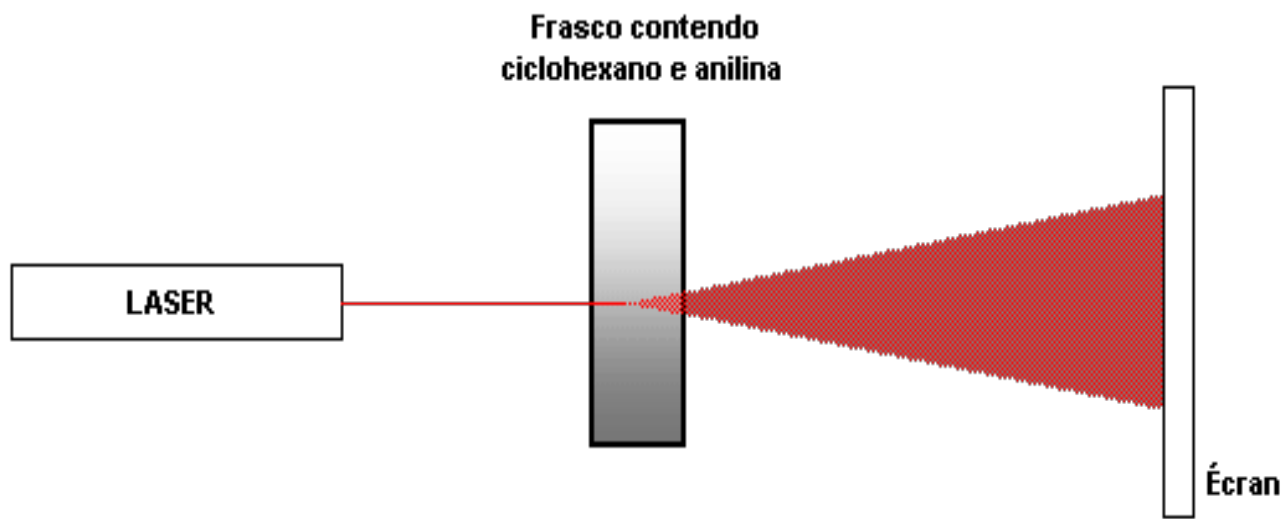


SF₆

Opalescência Crítica

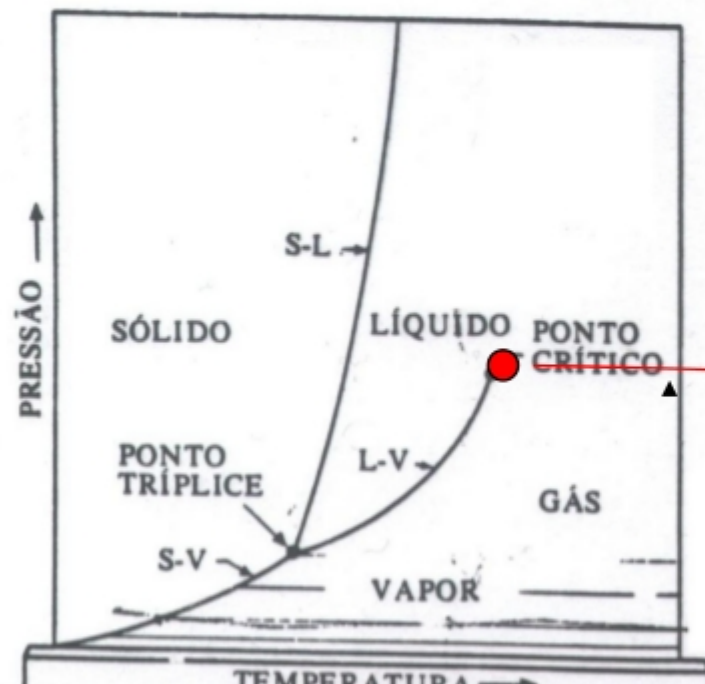


Opalescência Crítica



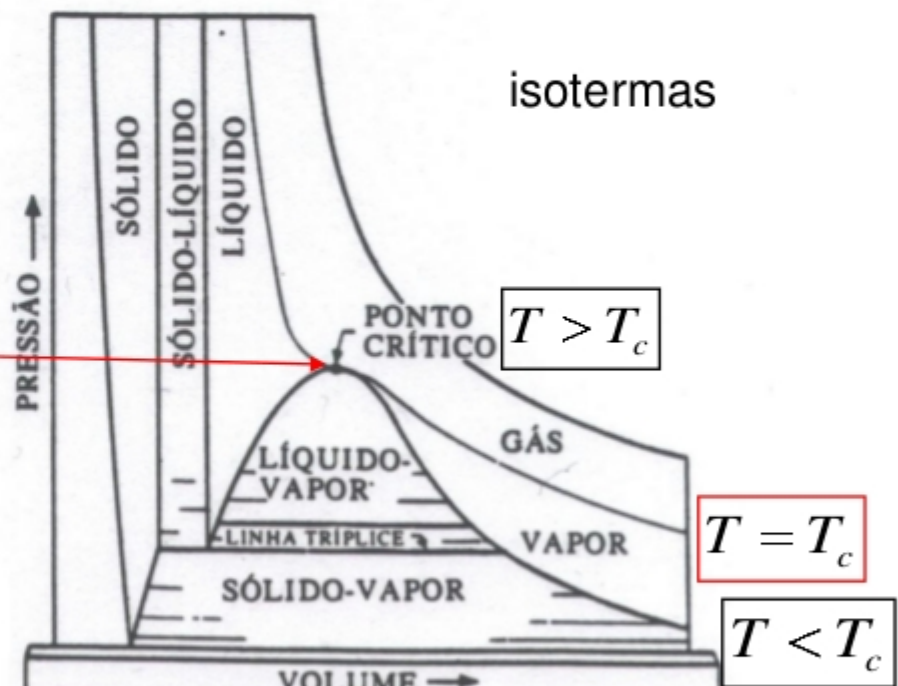
Substância simples: planos T-p e p-V

Plano T-p



(a)

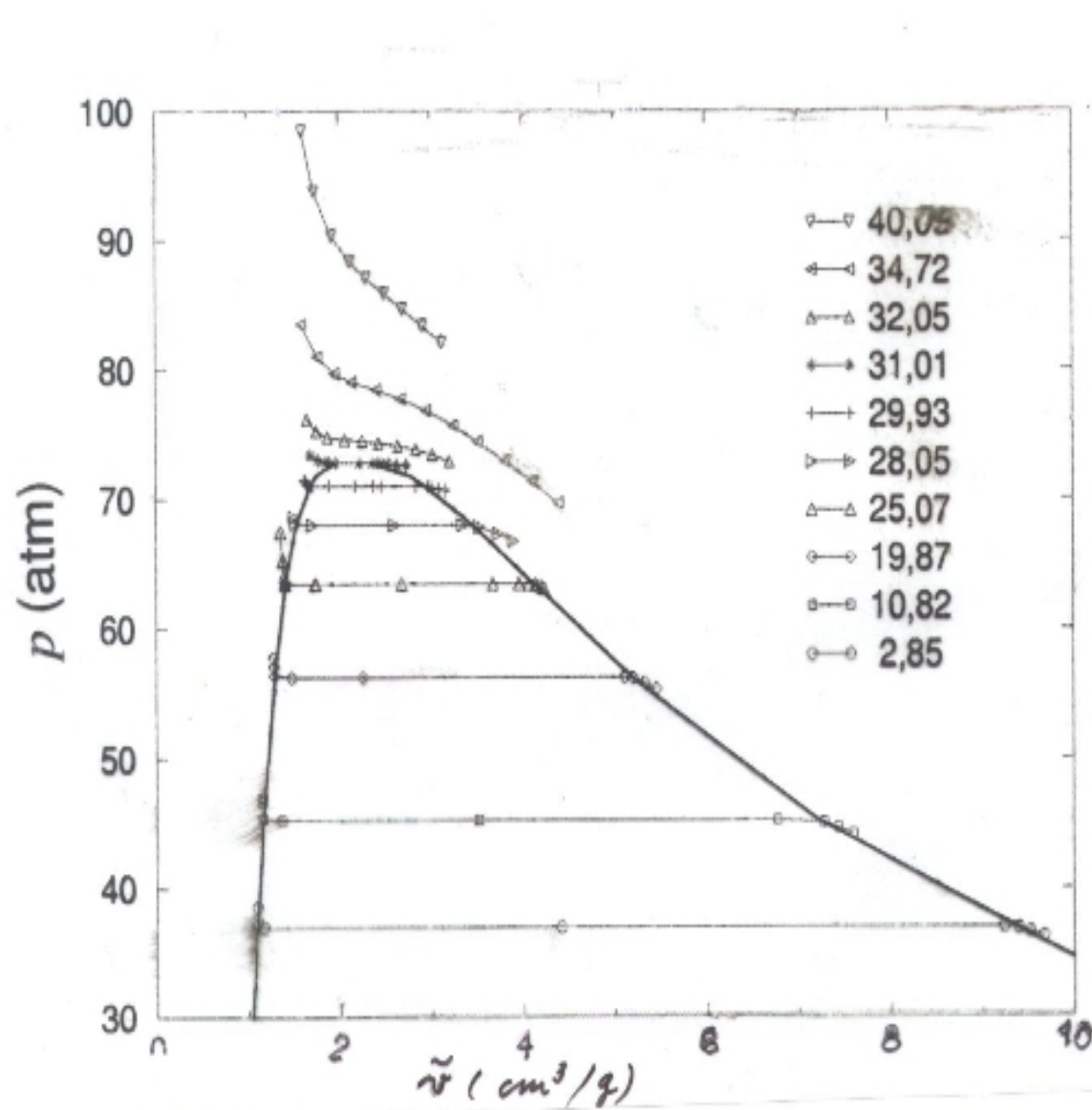
Plano p-V



(b)

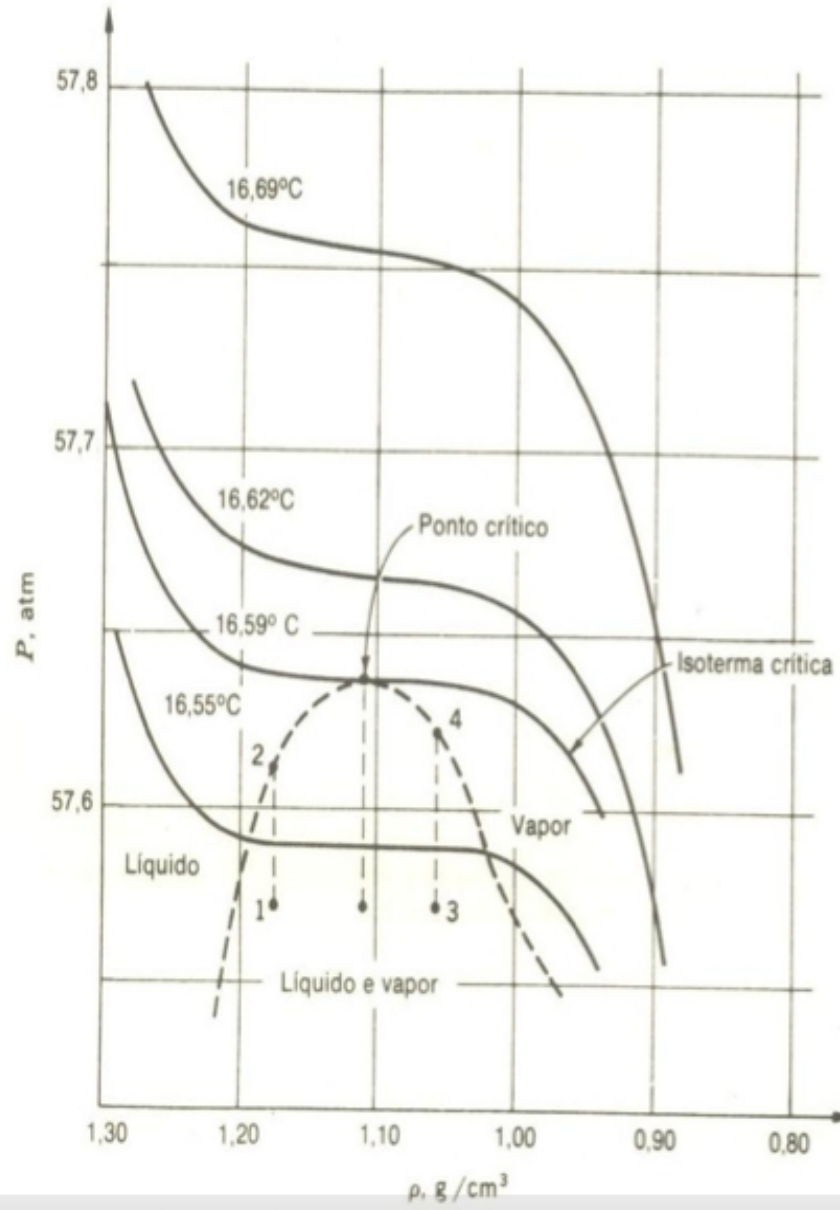
Sears&Salinger, Termodinâmica,
Teoria cinética e Termodinâmica Estatística

Dioxido de Carbono: CO_2



Isotermas
CO₂
Michaels (1937)

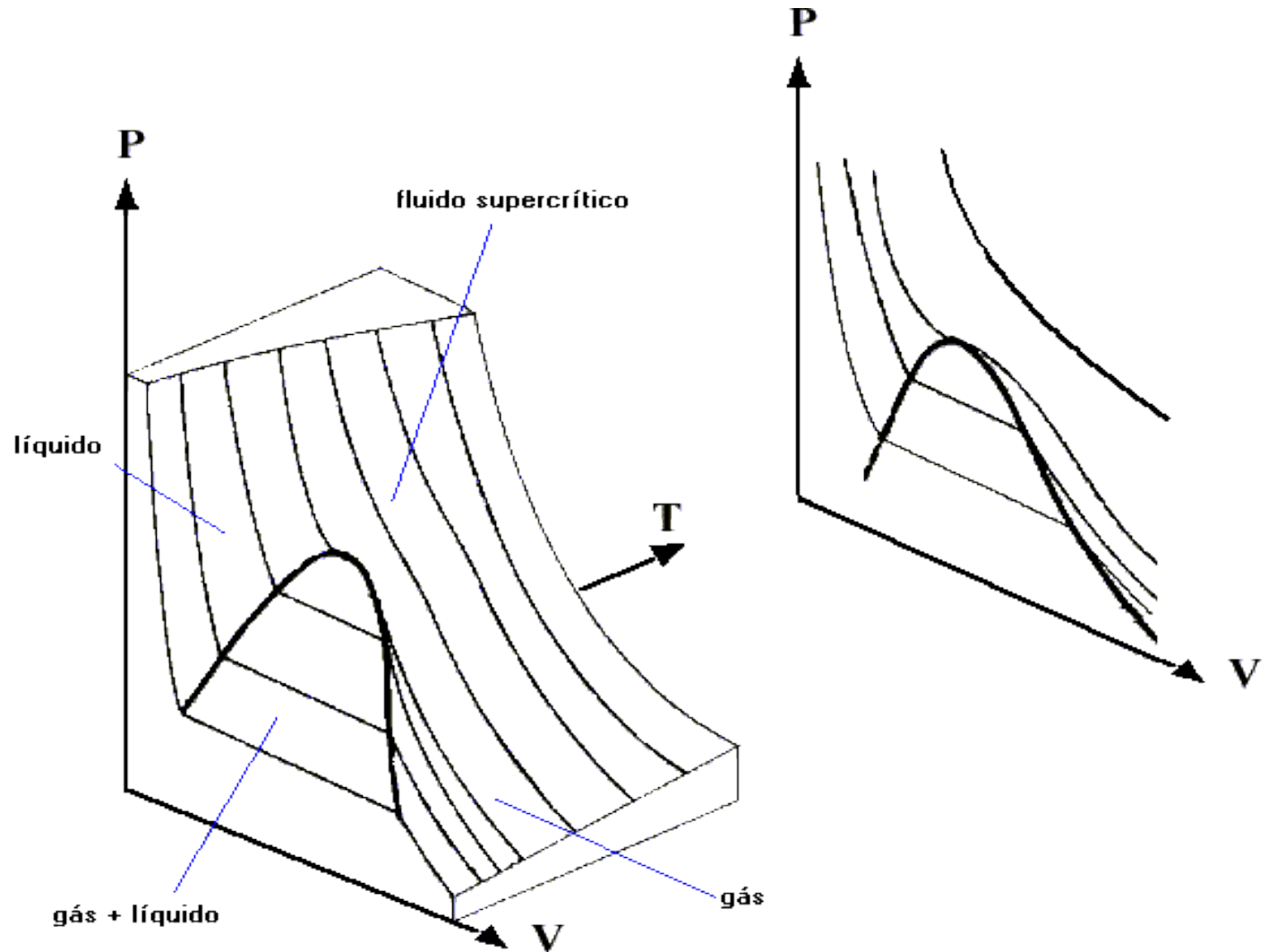
Xenômio

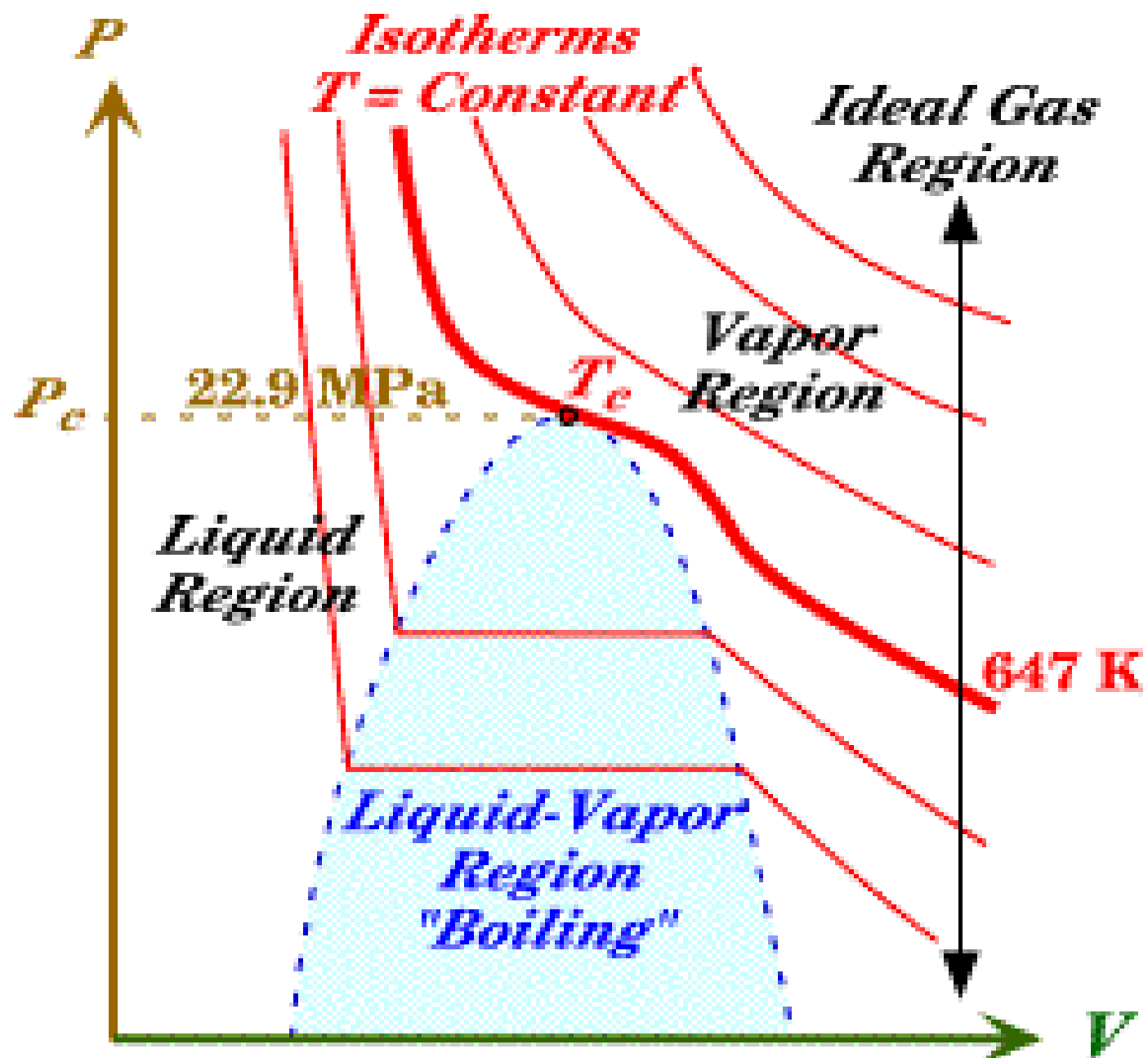


Isotermas do xenônio
nas proximidades do
ponto crítico
Habgood&Scheineider,
1954

Zemansky,
Calor e Termodinâmica, 1978
p. 336.

Diagrama P-V-T





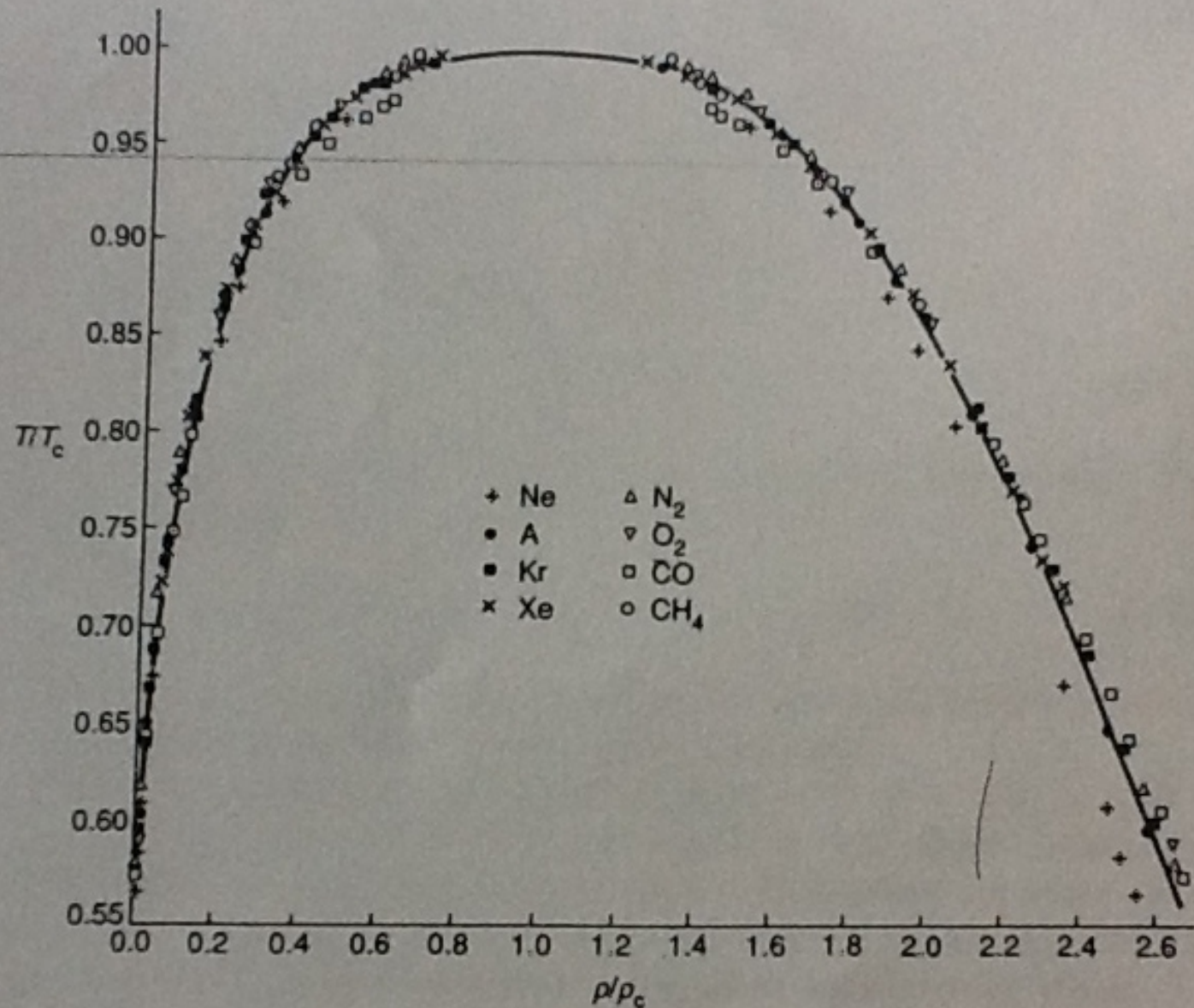
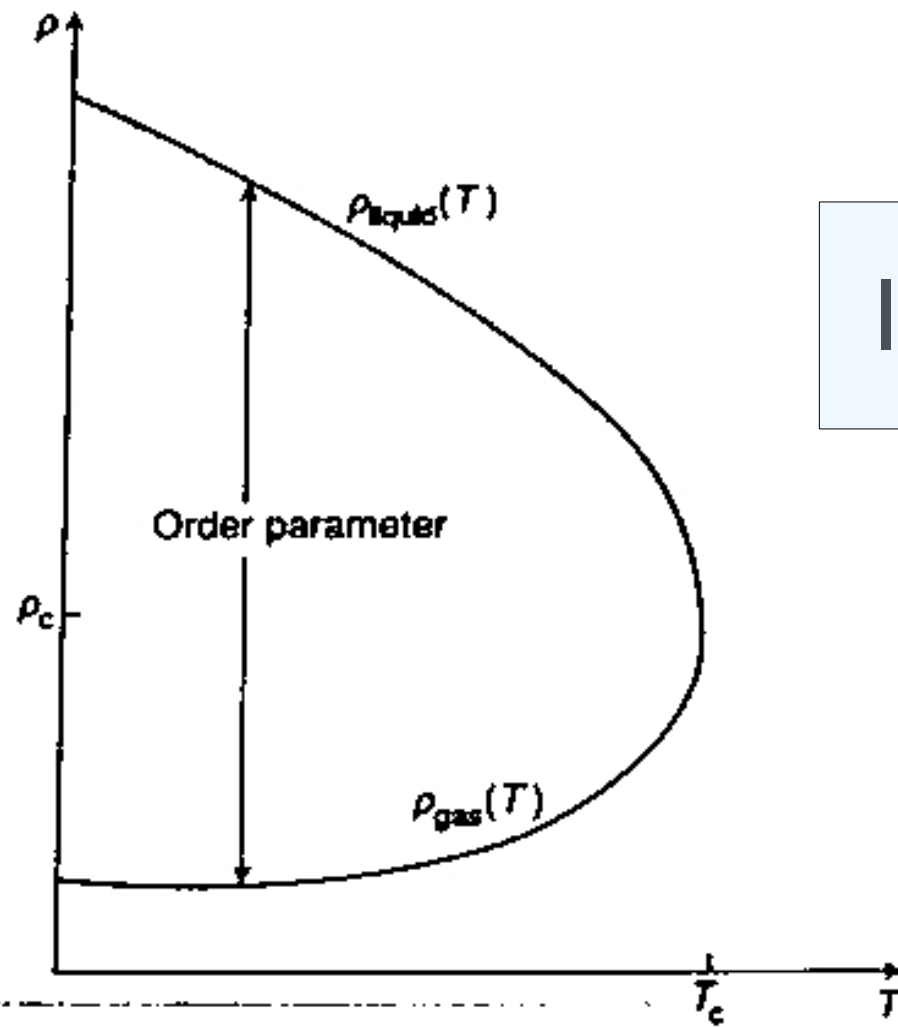


Fig. 2.2. The coexistence curve of eight different fluids plotted in reduced variables. The fit assumes an exponent $\beta = 1/3$. After Guggenheim, E. A. (1945). *Journal of Chemical Physics*, 13, 253.



$$|\rho_+ - \rho_-| \sim |T - T_c|^{1/3}$$

Fig. 1.2. Values of the densities of the coexisting liquid and gas along the vapour pressure curve. $(\rho_{liquid}(T) - \rho_{gas}(T))$ is the order parameter for the liquid-gas transition.

Propriedades do ponto crítico de algumas substâncias

Substância	$T_c(K)$	$p_c(N/m^2)$	$v_c(m^3/kmol)$	$p_c v_c / RT_c$	$p(atm)$
Helio4	5,25	$2,30 \times 10^5$	0,0578	0,303	2,26
Helio3	3,34	$1,15 \times 10^5$	0,0726	0,302	1,13
Hidrogenio	33,3	$12,8 \times 10^5$	0,0650	0,300	12,6
Nitrogenio	126,2	$33,6 \times 10^5$	0,0901	0,286	33,2
Oxigenio	154,8	$50,2 \times 10^5$	0,078	0,304	49,5
Amonia	405,5	$111,0 \times 10^5$	0,0725	0,239	109,5
Diox.Carb.	304,2	$73,0 \times 10^5$	0,094	0,271	72,0
Agua	647,4	$209,0 \times 10^5$	0,056	0,217	206,3
v.d.Waals	$8a/27Rb$	$a/27b^2$	$3b$	$0,375 = 3/8$	

Expoentes Críticos

- Calor Específico: $C_V \sim |t|^\alpha$
- Diferença de densidade: $|\rho_+ - \rho_-| \sim (-t)^\beta$
- Compressibilidade: $k_T \sim |t|^{-\gamma}$
- Comprimento Correlação: $\xi \sim |t|^{-\nu}$
- $t \equiv \frac{T-T_c}{T_c}$

Tabela 8.2: Expoentes críticos α , β , γ e δ relativos ao ponto crítico líquido-vapor de diversas substâncias puras.

substância		α	β	γ	δ
hélio-3	${}^3\text{He}$	0,11	0,36	1,19	4,1
hélio-4	${}^4\text{He}$	0,13	0,36	1,18	
Neônio	Ne		0,33	1,25	
argônio	Ar	0,13	0,34	1,21	
criptônio	Kr		0,36	1,18	
xenônio	Xe	0,11	0,33	1,23	
hidrogênio	H ₂		0,33	1,19	
oxigênio	O ₂	0,12	0,35	1,25	
nitrogênio	N ₂		0,33	1,23	
dióx. carb.	CO ₂	0,11	0,32	1,24	
hexafl. enx.	SF ₆	0,11	0,32	1,28	
etileno	C ₂ H ₄		0,33	1,18	4,4
etano	C ₂ H ₆	0,12	0,34		

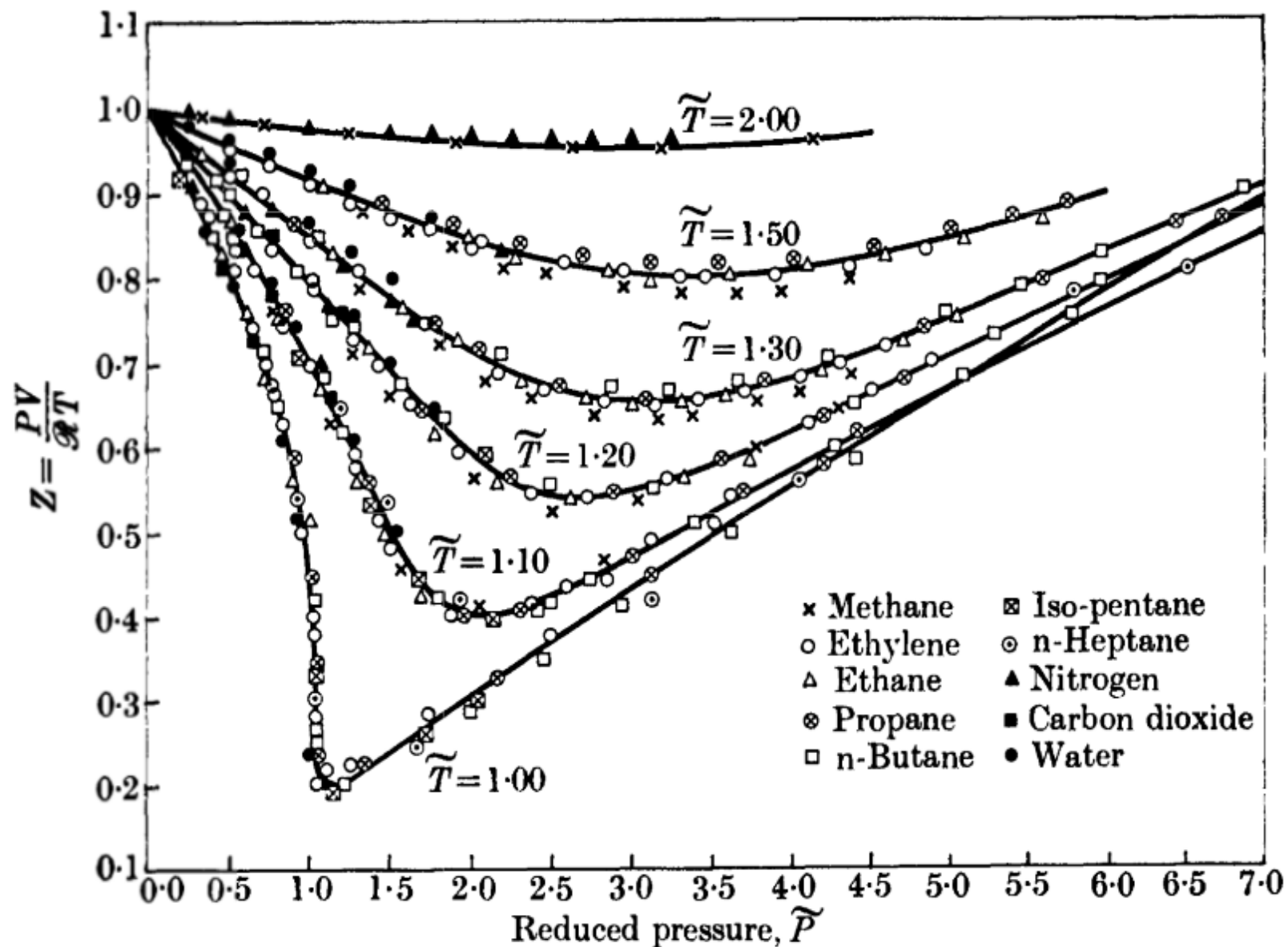


FIG. 5.3. Dependence of the compressibility ratio $Z \equiv PV/\mathcal{R}T$ upon reduced pressure \tilde{P} for different reduced temperatures \tilde{T} . The fact that the data for a wide variety of fluids fall on identical curves supports the law of corresponding states. After Su (1946).

O modelo de Van der Waals

$$\left(p + \frac{a}{V_m^2} \right) (V_m - b) = RT$$

The van der Waals equation

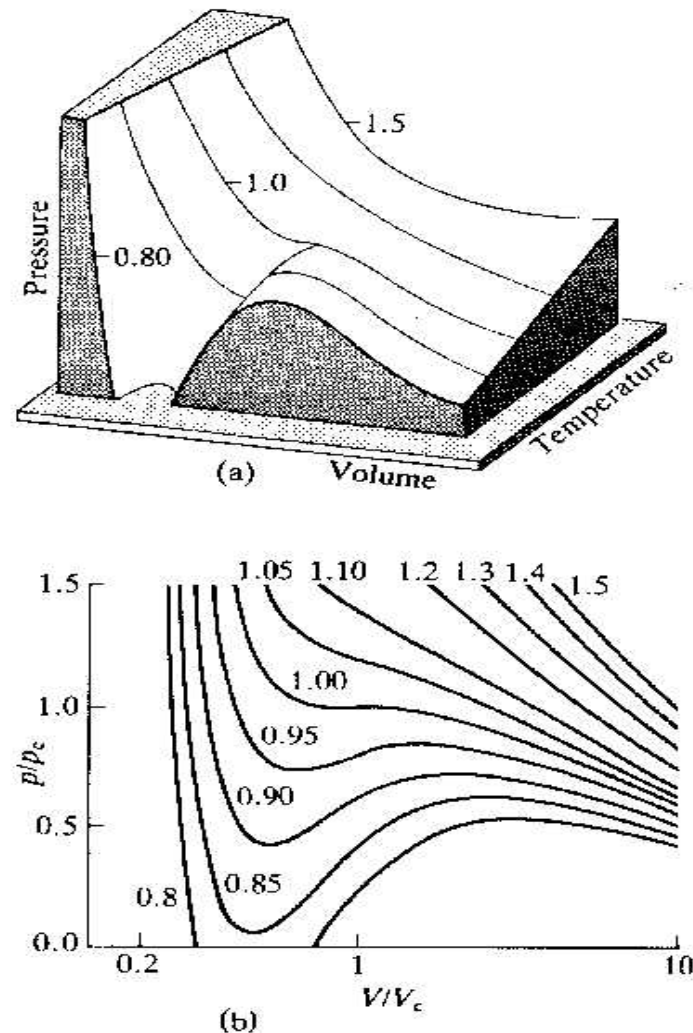
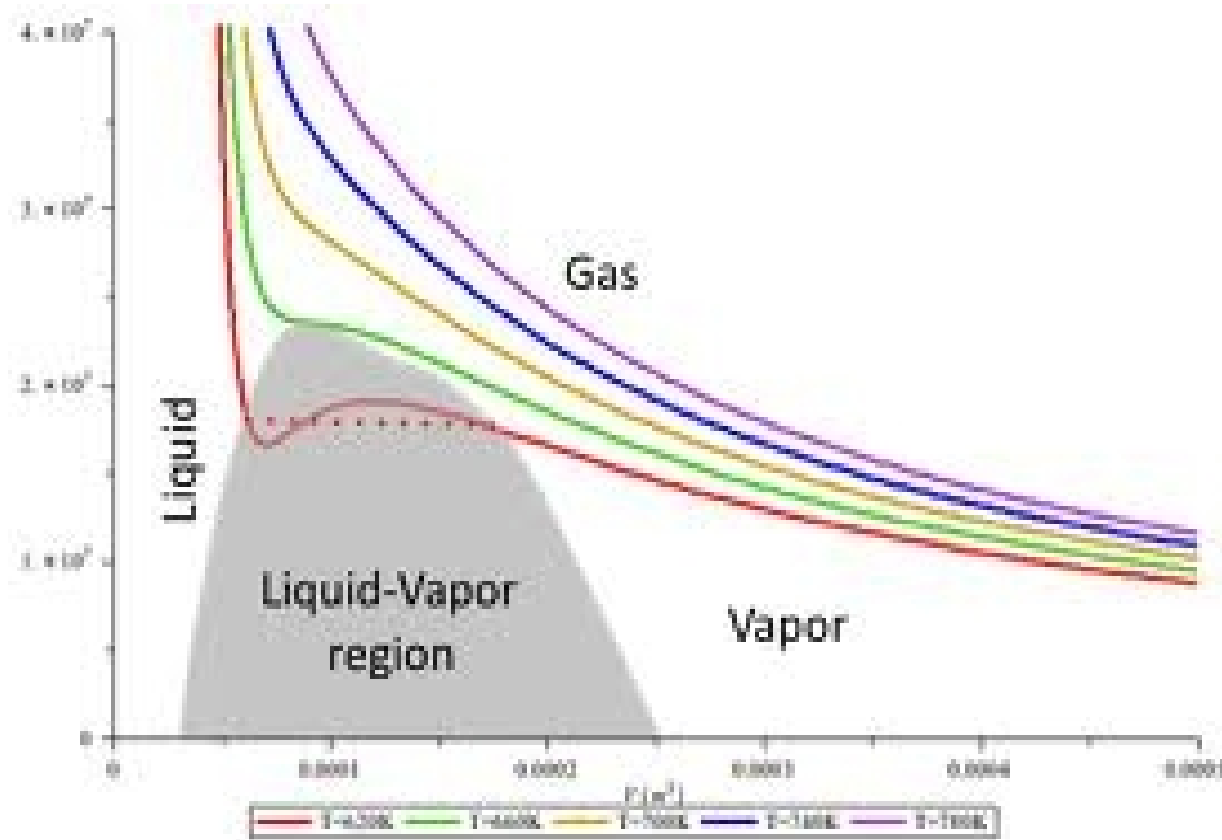
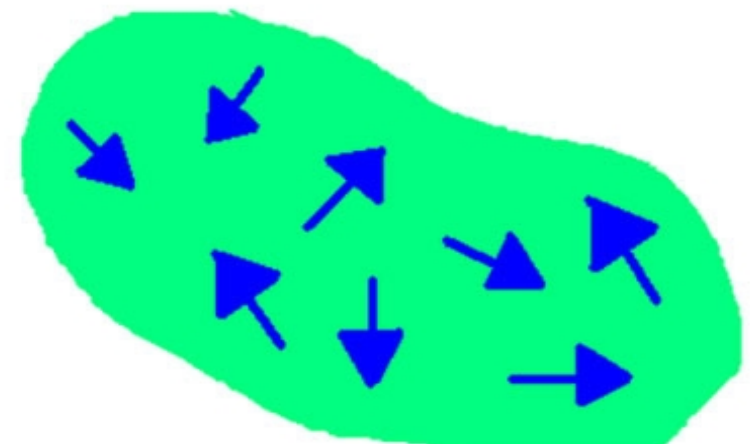
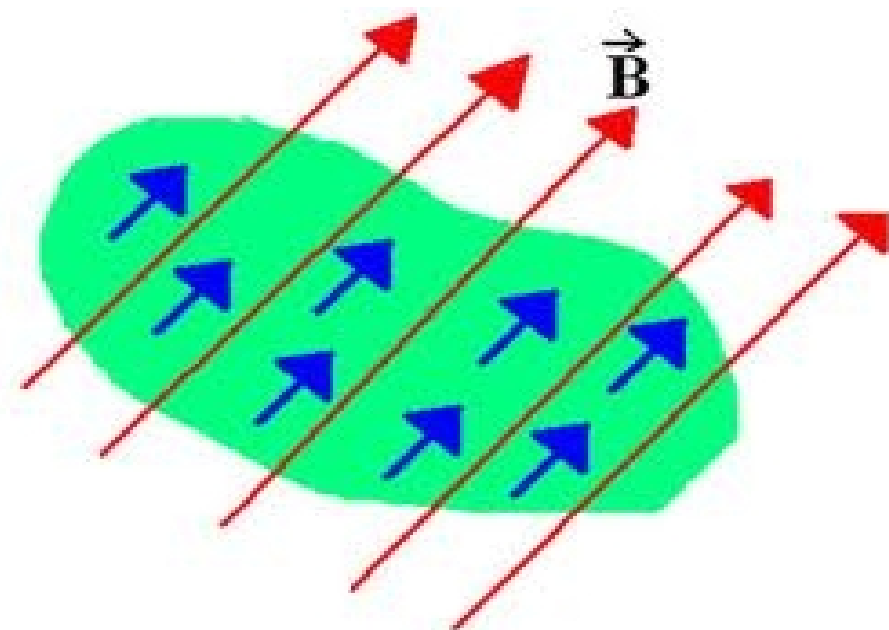


Fig. 1.10 The van der Waals isotherms at several values of T/T_c . (a) The shape of the surface (compare it with the perfect gas surface in Fig. 1.4). (b) A selection of individual isotherms. The van der Waals 'loops' are normally replaced by horizontal straight lines. The critical isotherm is the one at $T/T_c = 1$.

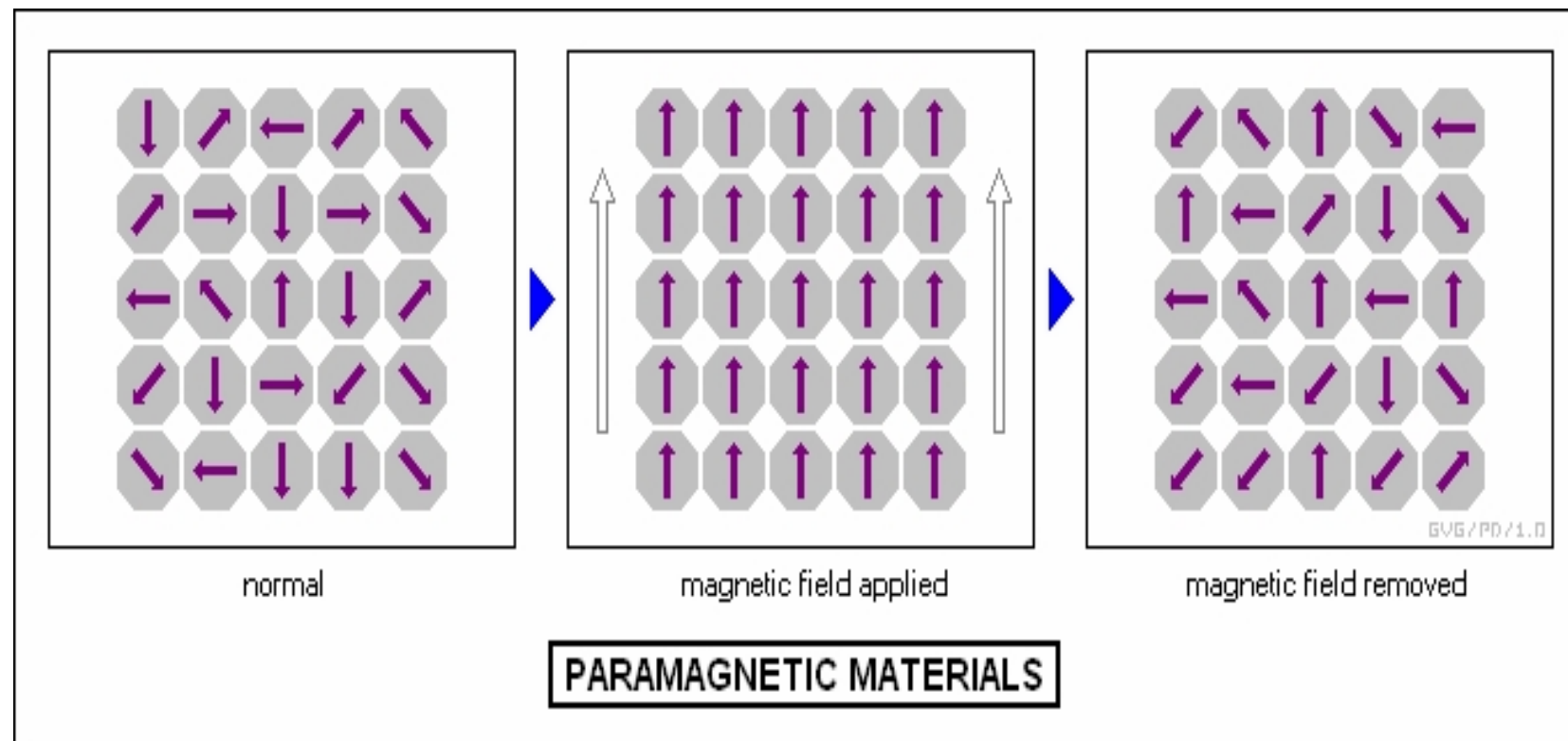
Coefficientes de van der Waals

Gás	a (Pa m ⁶)	b (m ³ /mol)
He	3.46×10^{-3}	23.71×10^{-6}
Ne	2.12×10^{-2}	17.10×10^{-6}
H ₂	2.45×10^{-2}	26.61×10^{-6}
CO ₂	3.96×10^{-1}	42.69×10^{-6}
H ₂ O	5.47×10^{-1}	30.52×10^{-6}

Materiais Paramagnéticos

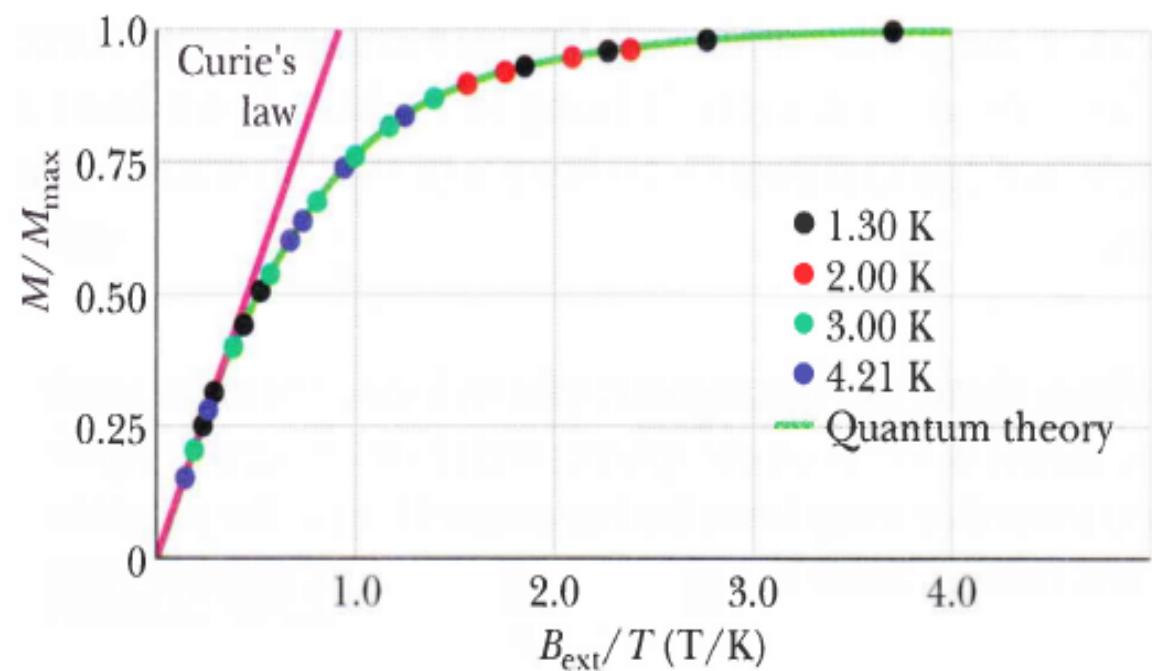


Materiais Paramagnéticos

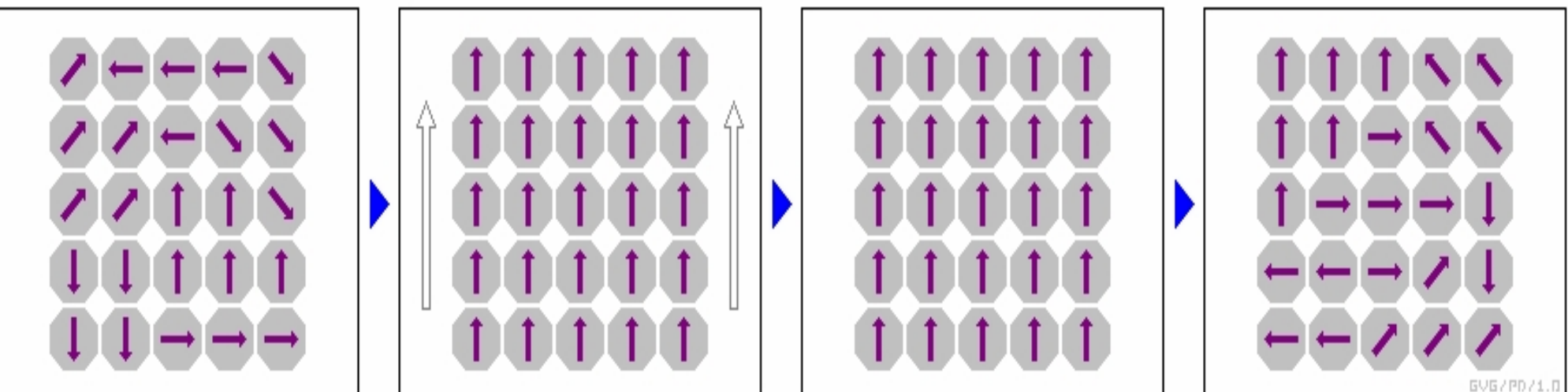


Materiais Paramagnéticos

FIG. 32-14 A *magnetization curve* for potassium chromium sulfate, a paramagnetic salt. The ratio of magnetization M of the salt to the maximum possible magnetization M_{\max} is plotted versus the ratio of the applied magnetic field magnitude B_{ext} to the temperature T . Curie's law fits the data at the left; quantum theory fits all the data. After W. E. Henry.

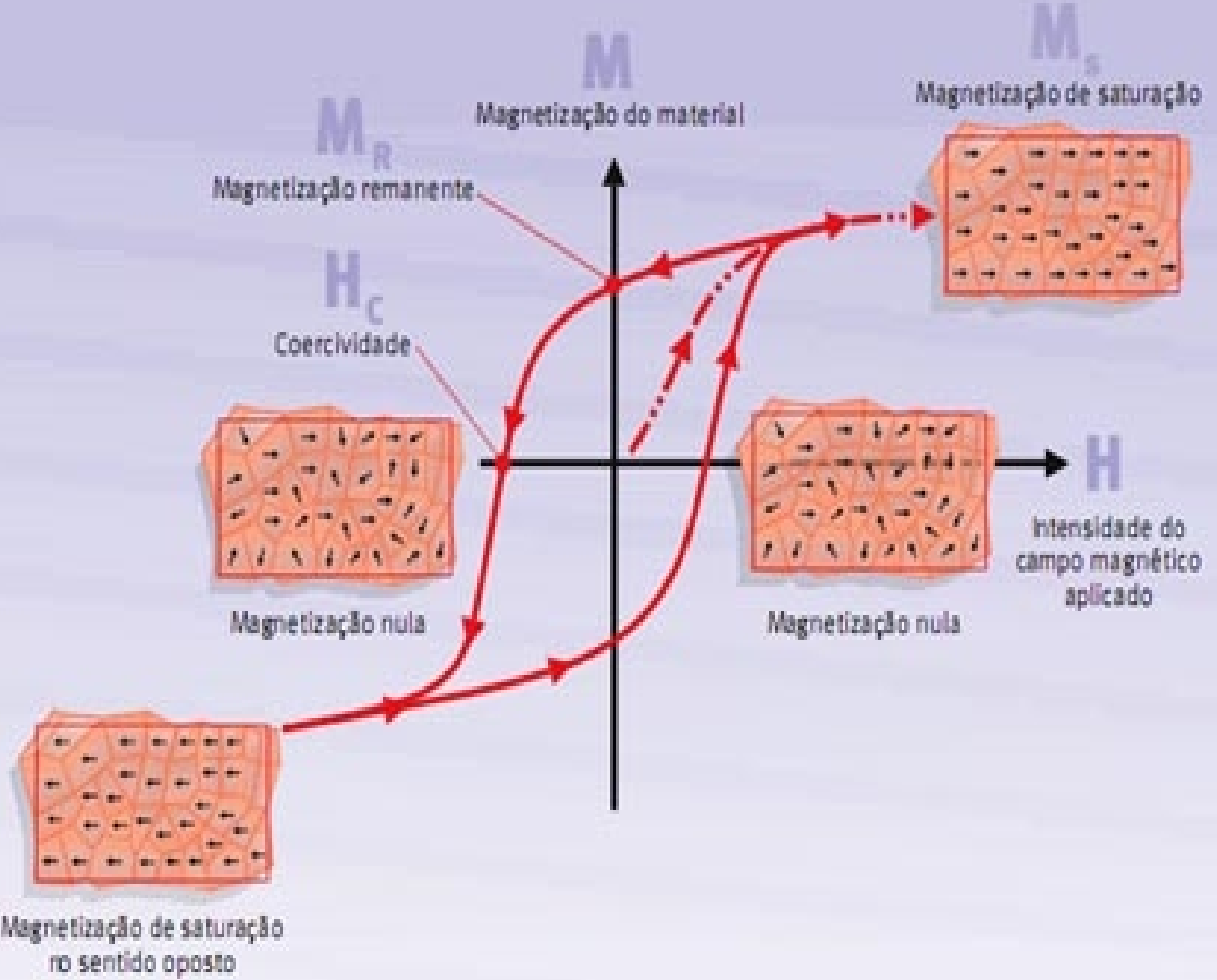


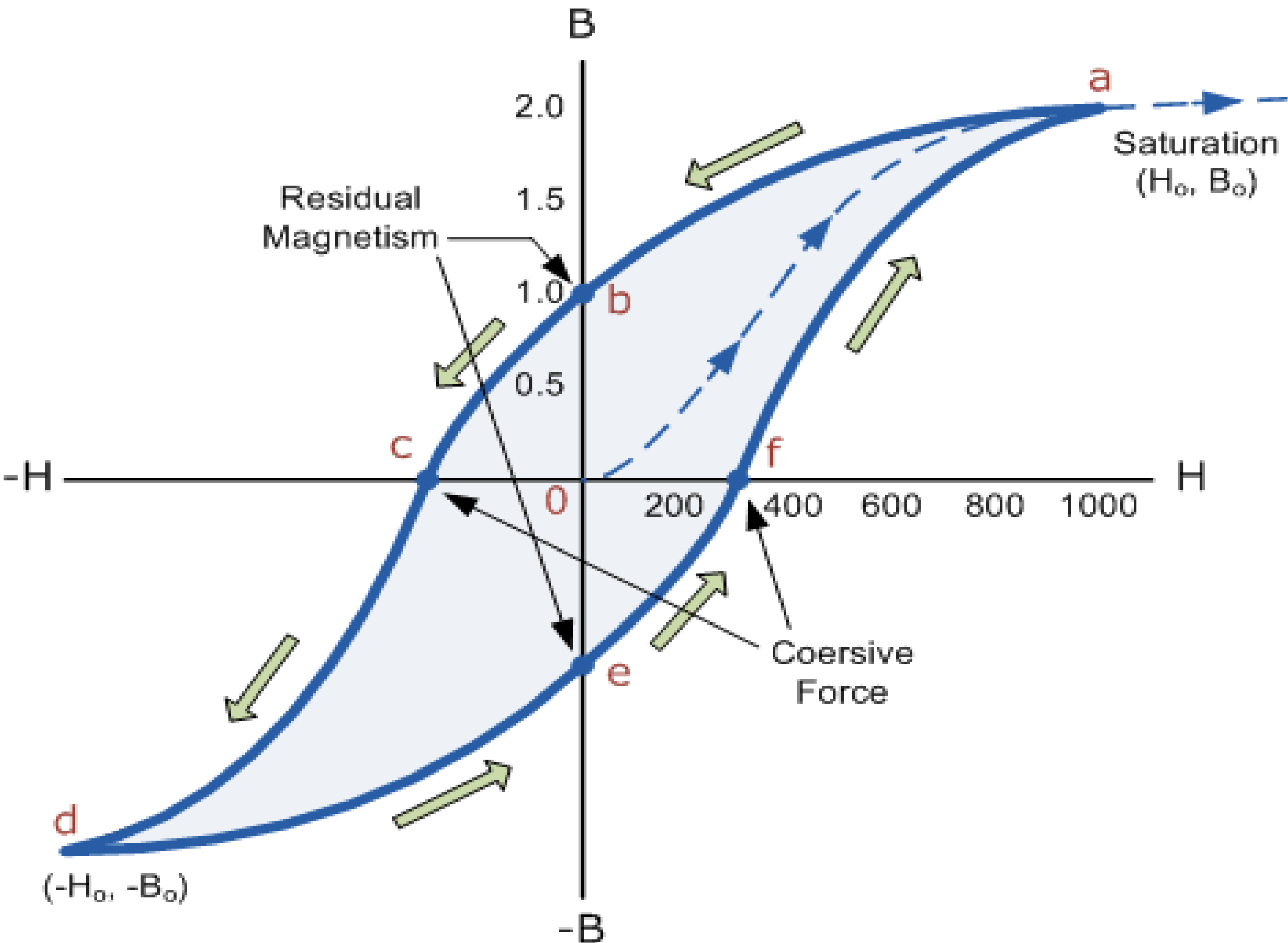
Materiais Ferromagnéticos



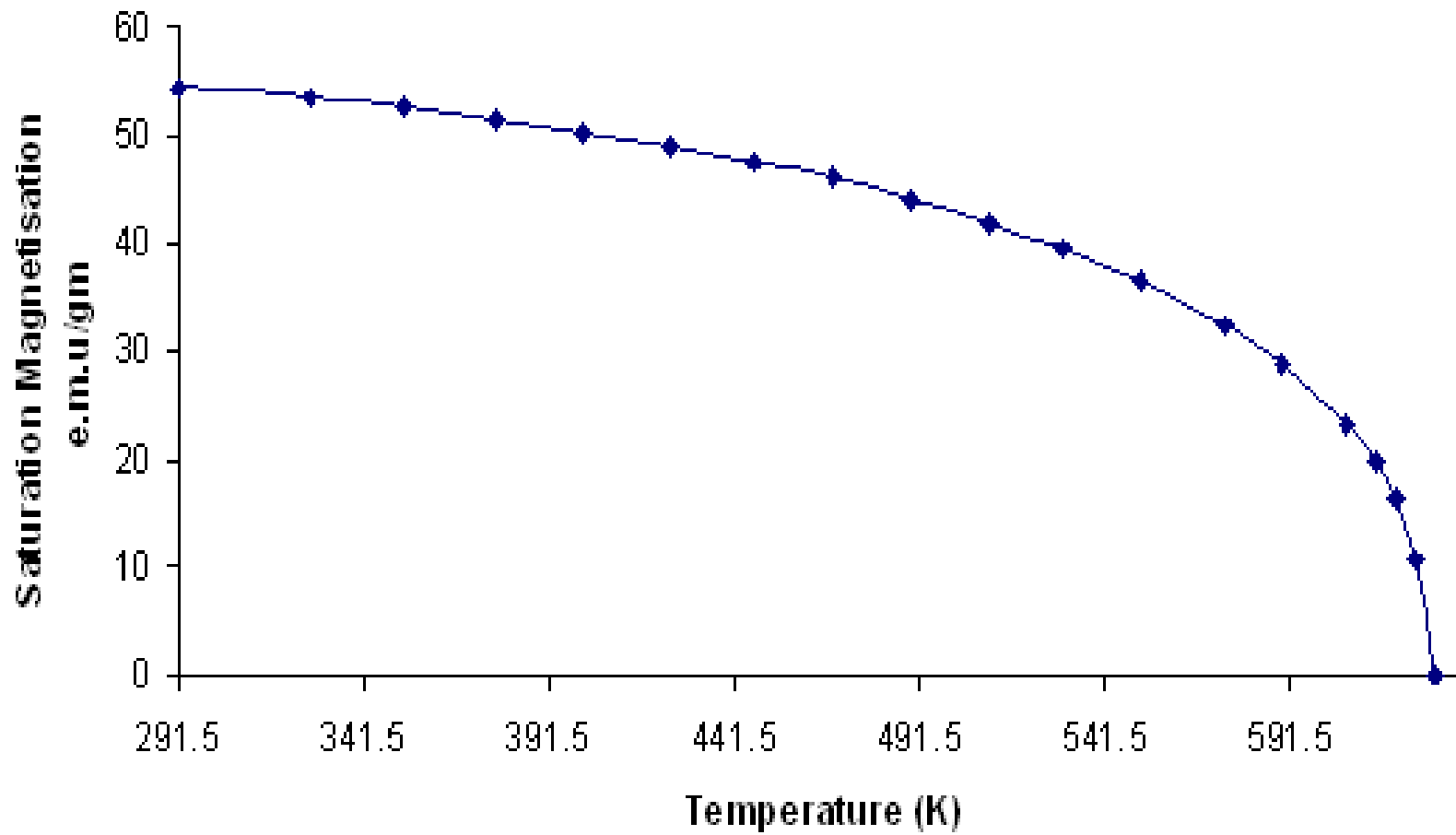
FERROMAGNETIC MATERIALS

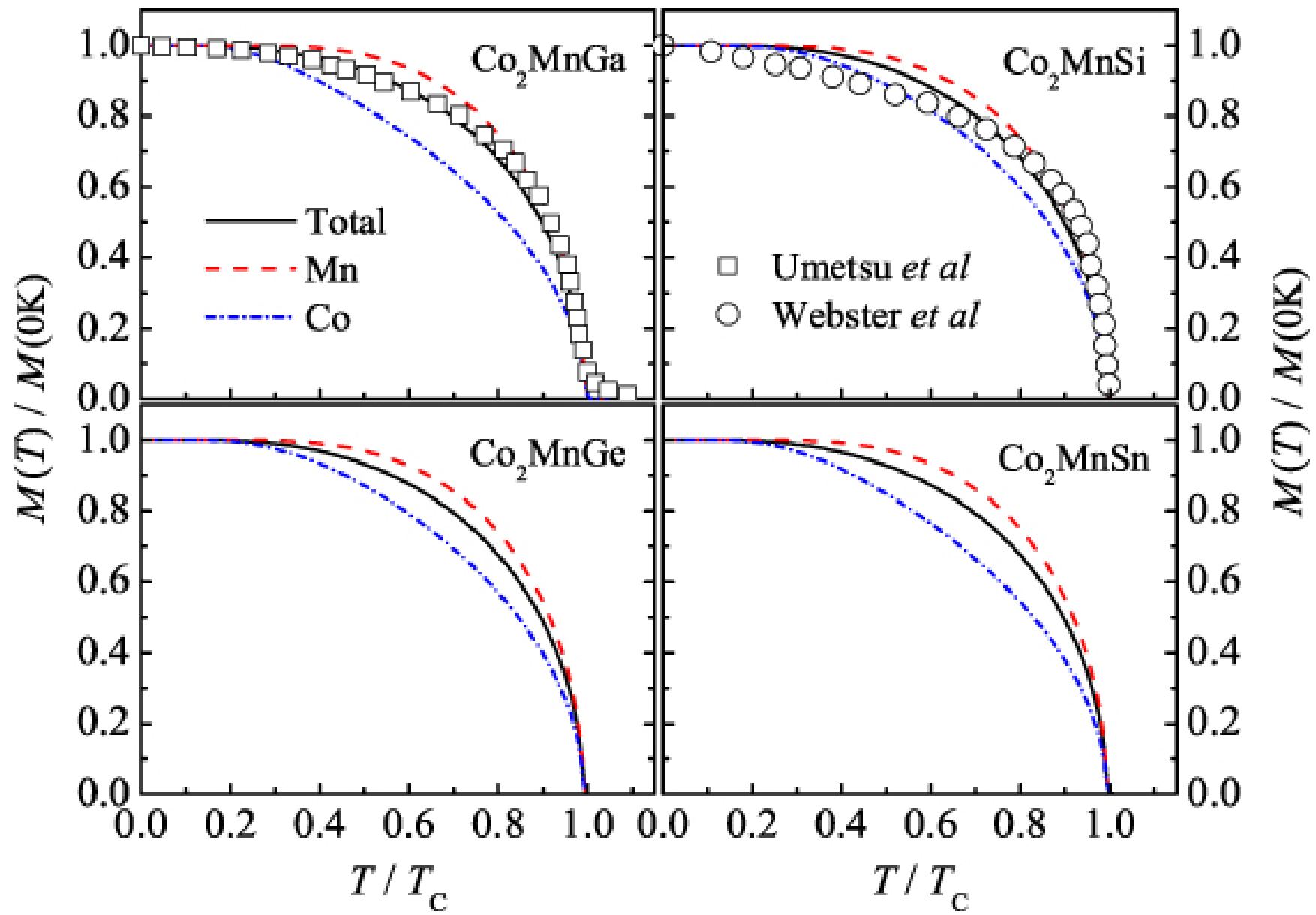
GVG/PD/1.0

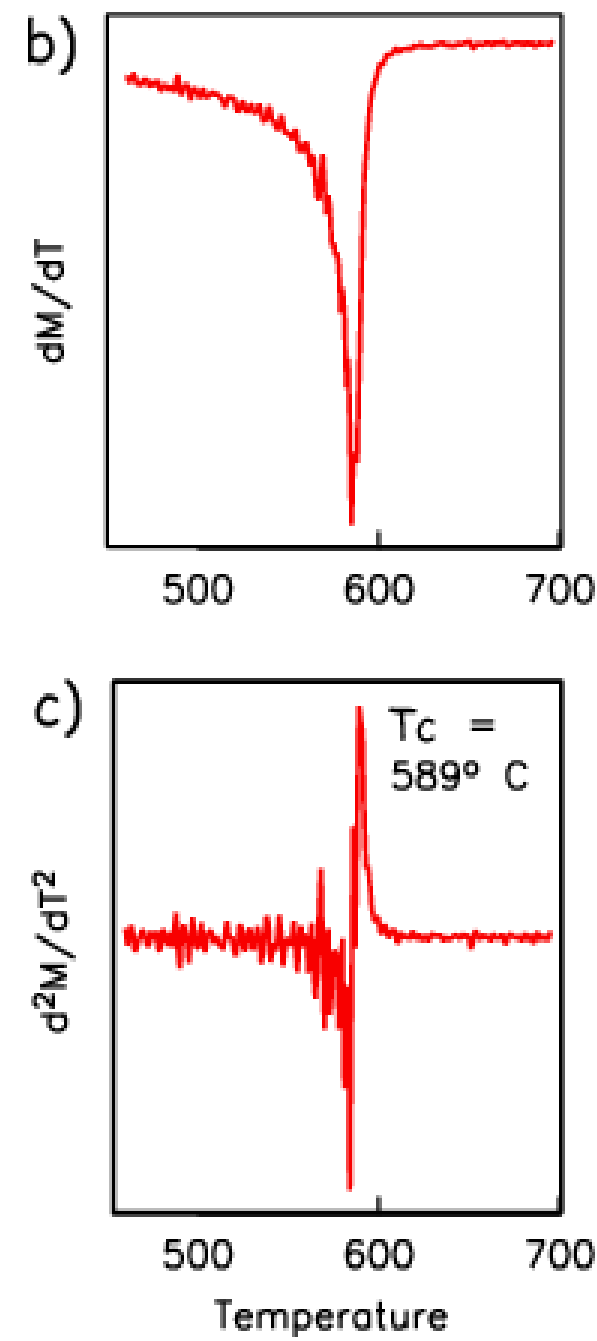
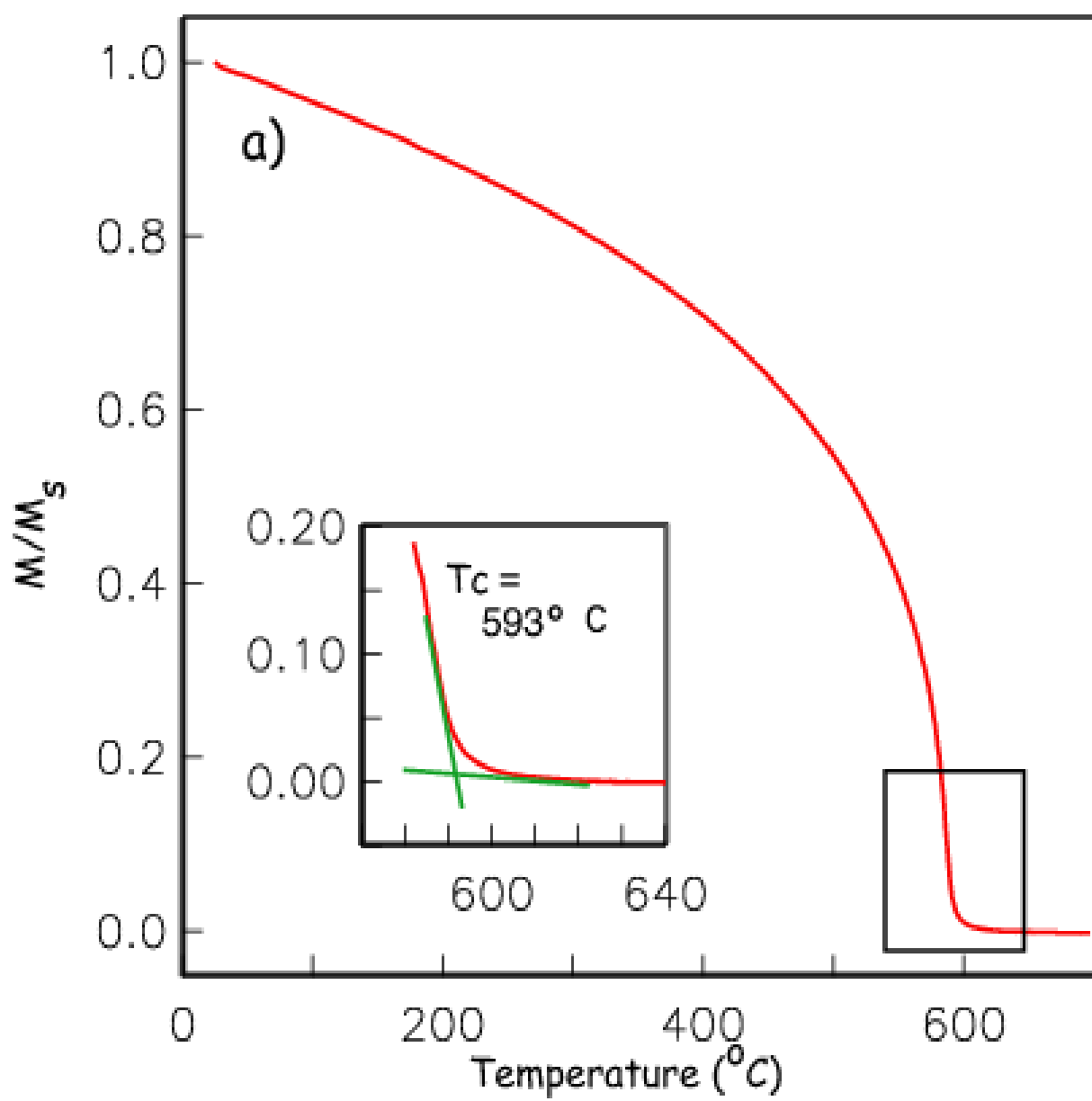




Saturation Magnetisation of Nickel plotted against Temperature







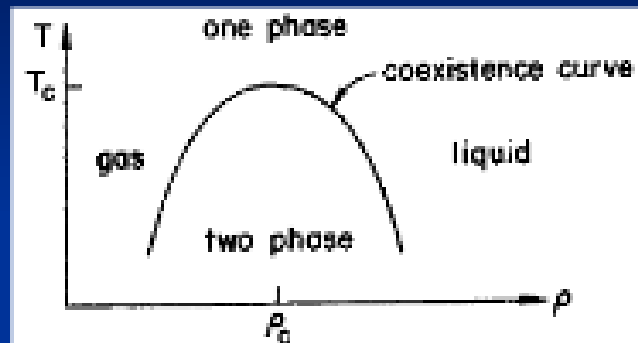
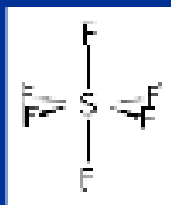
1. Critical point and phase transition

Critical point of fluid ($p=\text{const}$)

1. temp dependence

- Phases for SF_6 the curve is

$$|\rho_+ - \rho_-| \propto |T - T_c|^{0.327 \pm 0.006}$$



rho = density
 T_c = critical temp

Fig 1: phase diagram of fluid at $p=\text{const}$

- Magnetization for DyAlO_3

$$M \propto (T_c - T)^{0.311 \pm 0.005}$$

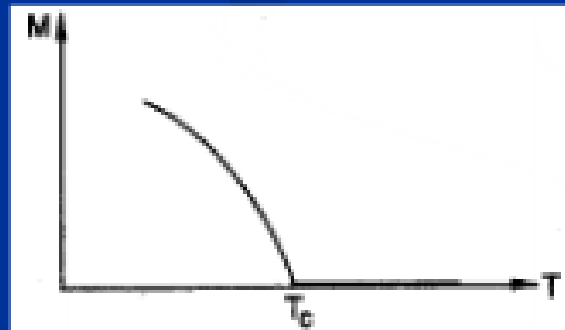


Fig 2: Onset of magnetization in ferromagnet

Diagrama de Fases

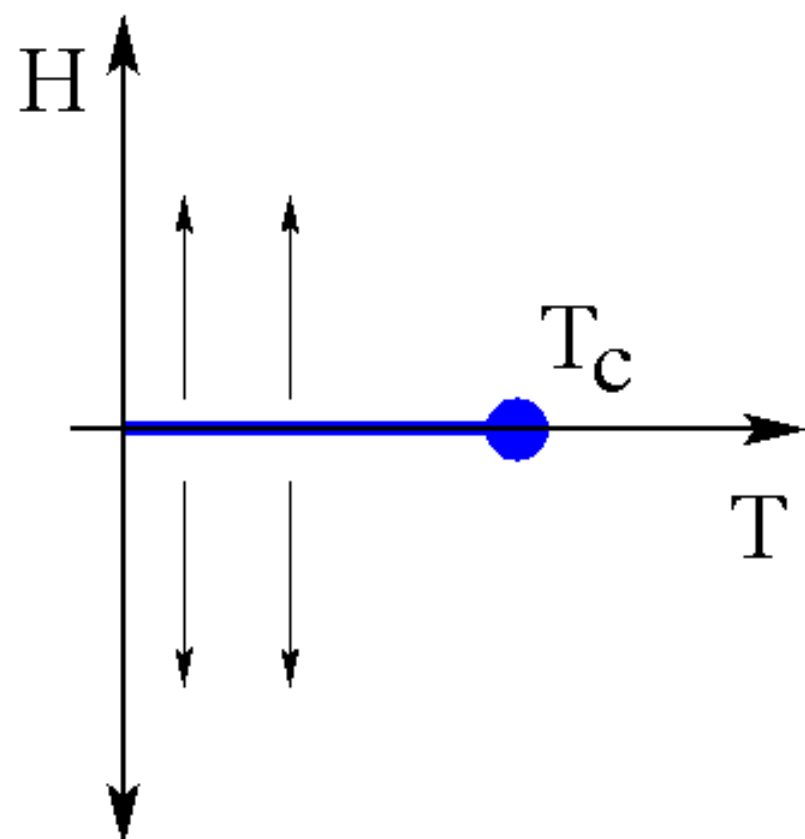


Diagrama de Fases

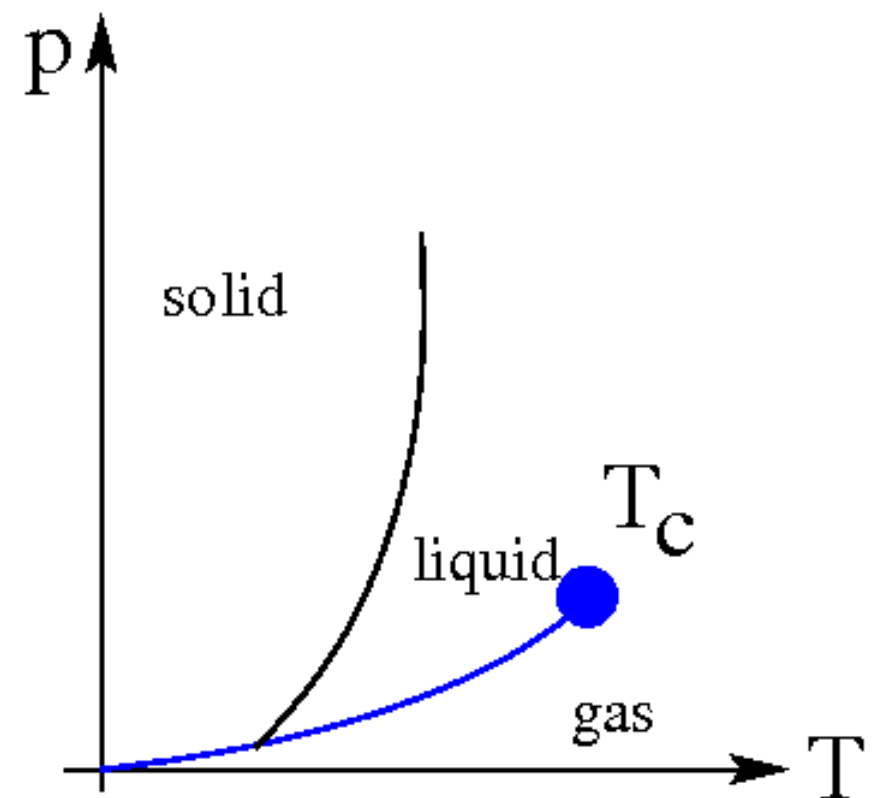
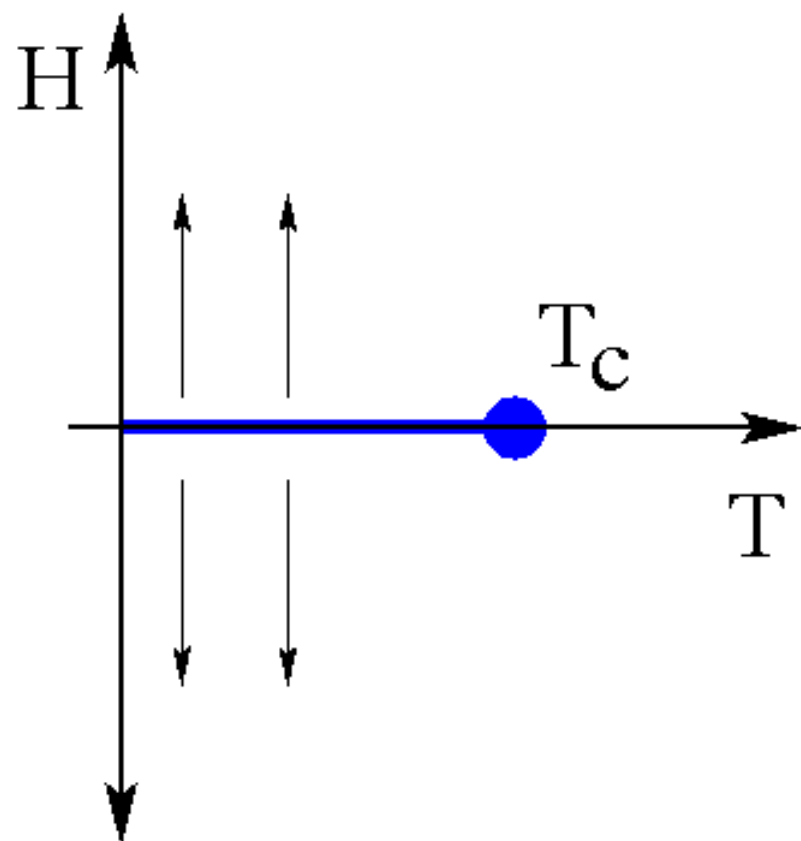
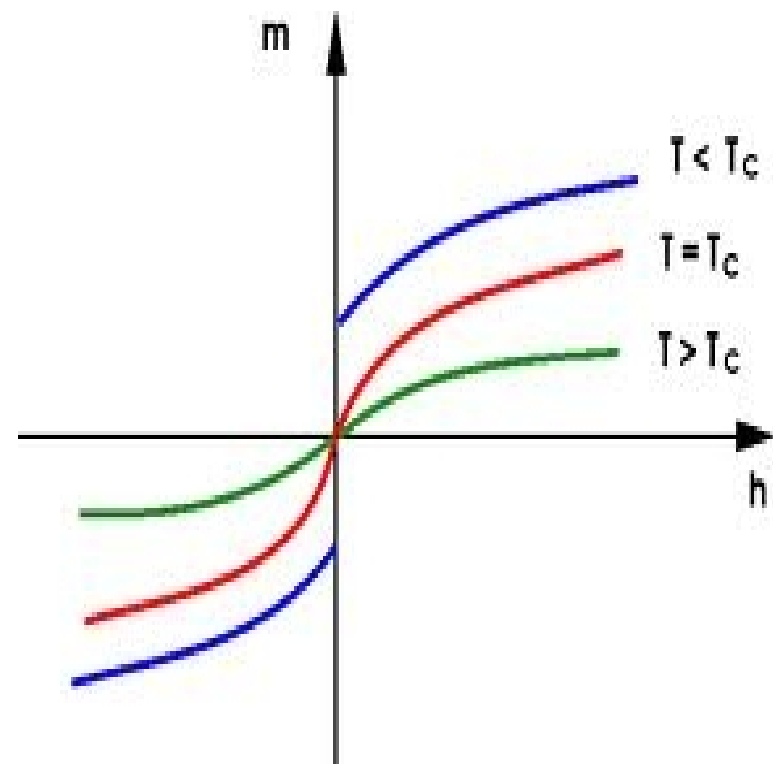
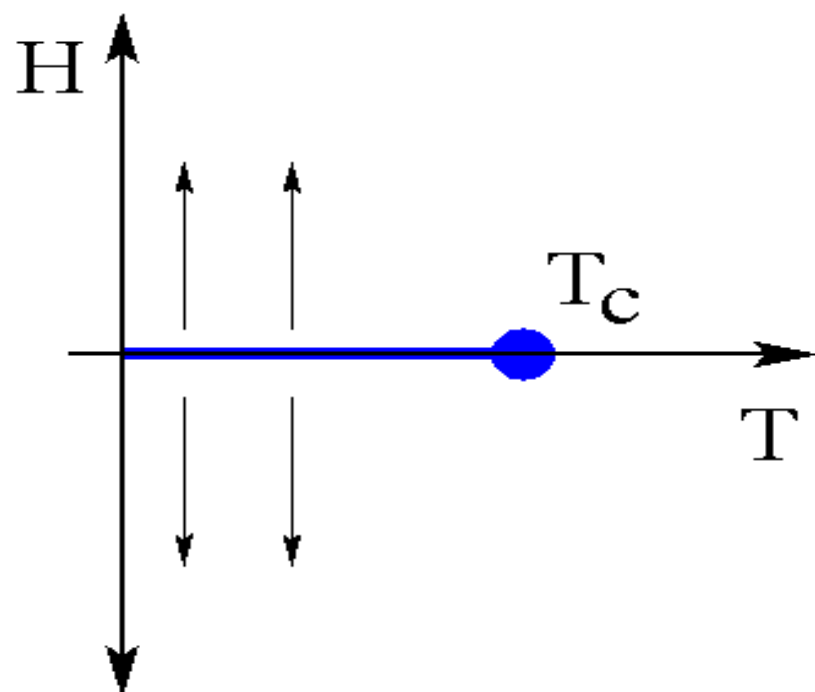
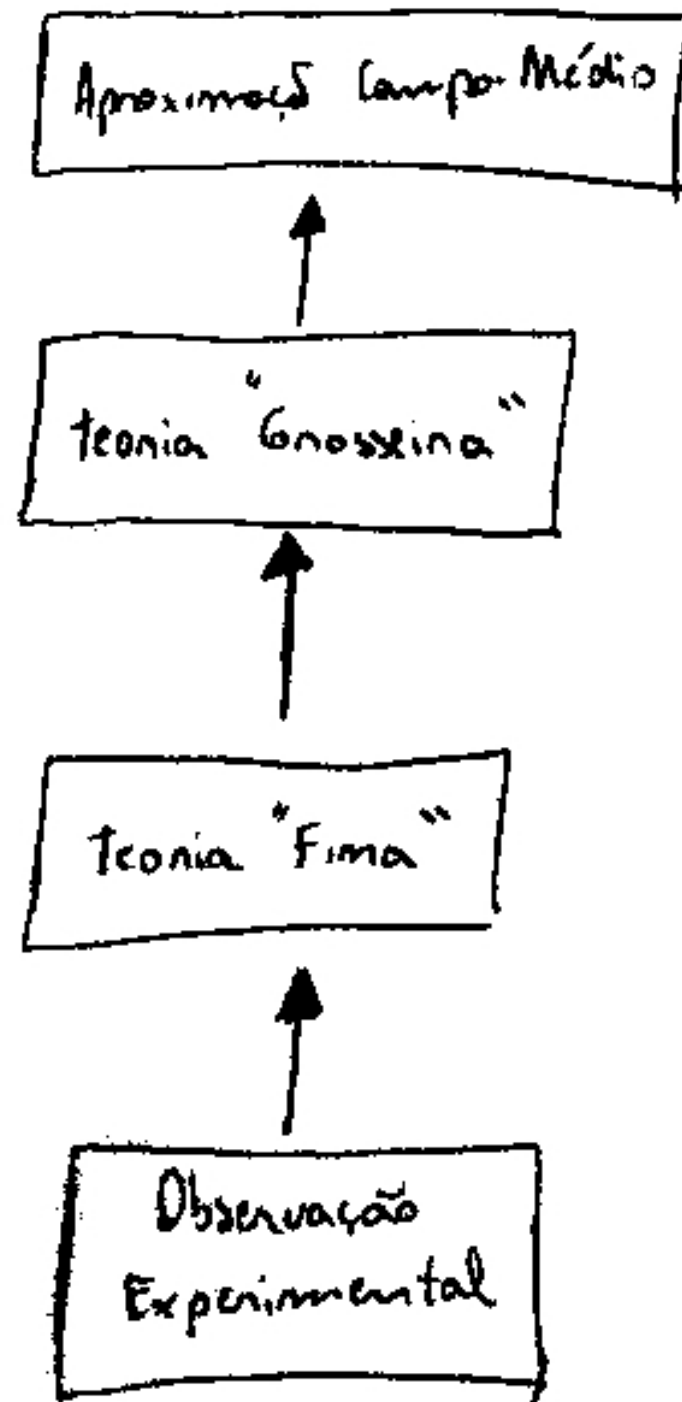


Diagrama de Fases



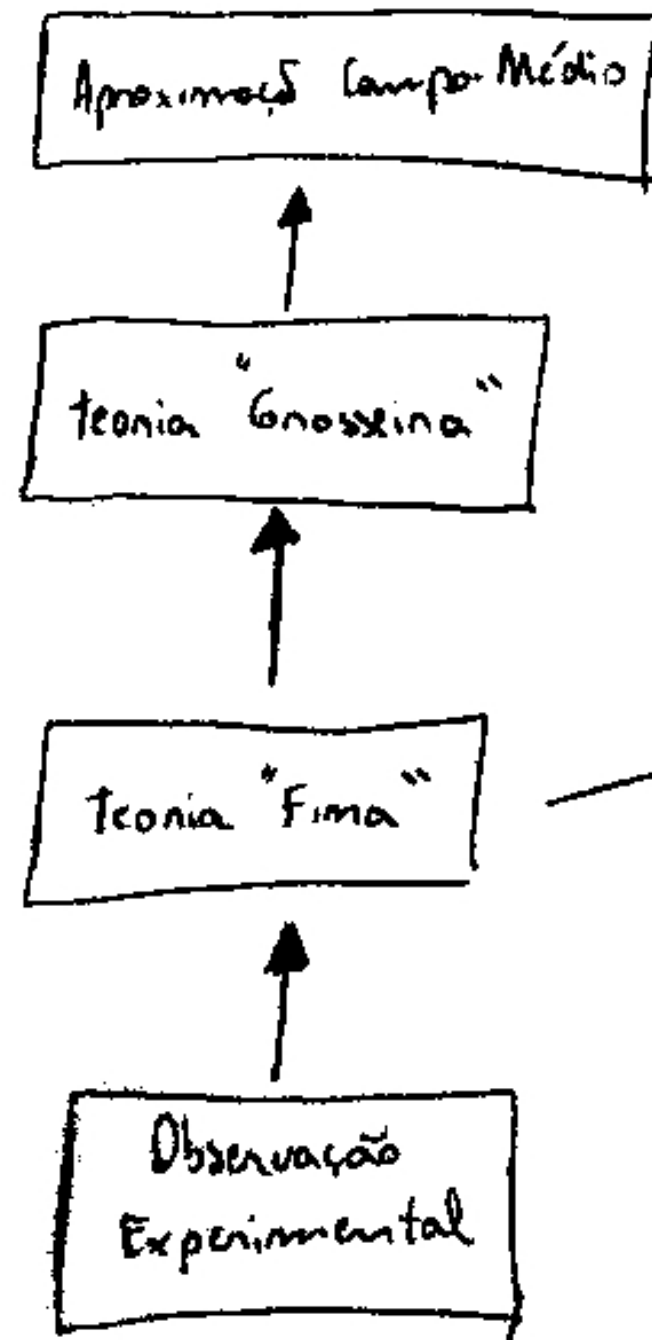
Expoentes Críticos

	α	β	γ	$\alpha + 2\beta + \gamma$	δ	ν	η
Experimentos para qualquer fluido	$\approx 0,11$	$\approx 1/3$	$1,2 - 1,4$	$\approx 2,03$	$\approx 4,1 - 4,4$	-	-
Experimentos com Materiais Ferromagnéticos	≈ 0	$\approx 1/3$	$5/4$	$\approx 2,3$	-	-	-

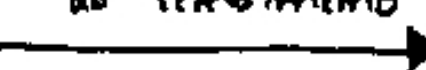


Explicação (Aproximada)
do Fenômeno

Predição



Explicação (Aproximada)
do Fenômeno



Predição

Simulação
Computacional

